

# NAGARA eventをもたらした 原子核乾板(nuclear emulsion)実験の今昔

n  
p  
Λ

岐阜大学・教育学部  
仲澤 和馬

## 1. 1945~1970 宇宙線から加速器への移行

1947 C. F. Powell:  $\pi$ 、 $\mu$ の発見 [1950 ノーベル賞]

1955 E. Segre, O. Chamberlain: 反陽子の発見 [1959 ノーベル賞]

## 2. 1971~1990 加速器を使った素粒子実験

1971 K. Niu: 新粒子の発見(後のチャーム)

[1974 J/ $\psi$ の発見 S. C. C. Ting, B. Richter 1977 ノーベル賞]

\* 取扱い手法の開発

- ・乾板単独からカウンターなどとのHybridへ
- ・人海戦術からコンピュータ支援

1985 WA75 bottom mesonの確認 / multi-charm pair生成の発見

## 3. 1990~ 高速飛跡探索装置が開くさまざまな領域

主流(本家)の名大

1988~  $\nu$ 振動実験

2004  $\tau$ レプトンの確認

火山内部の構造解析

粒子線治療のための核破碎反応の研究

WIMP (weakly interacting massive particles)

高速電子宇宙線の起源の解明

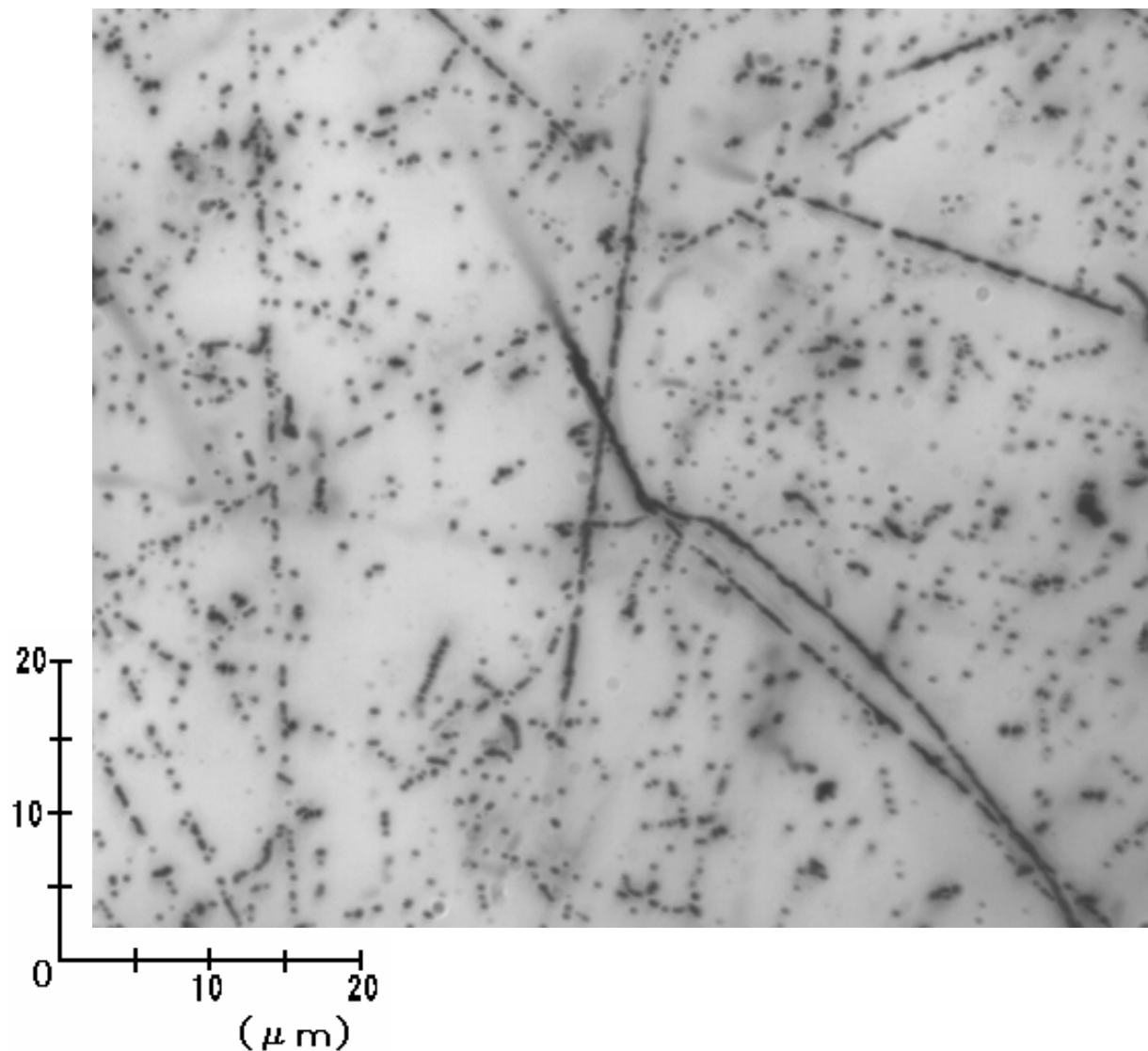
溶鉱炉の内部構造変化の検出

分家の岐大

原子核実験… 2001 NAGARA eventの発見・2005 S=-2の弱崩壊の発見

取扱い手法のみならず原子核乳剤そのものの開発が不斷に行われる

# 0. 原子核乾板中の記録



S. 木下, Proc. Roy. Soc. A83(1910) 432 : 1個の $\alpha$ 粒子でも感光することを示した。  
[実は、1897年、ベクレルはウラン塩から放射される「ウラン線」を写真乾板で記録していた]

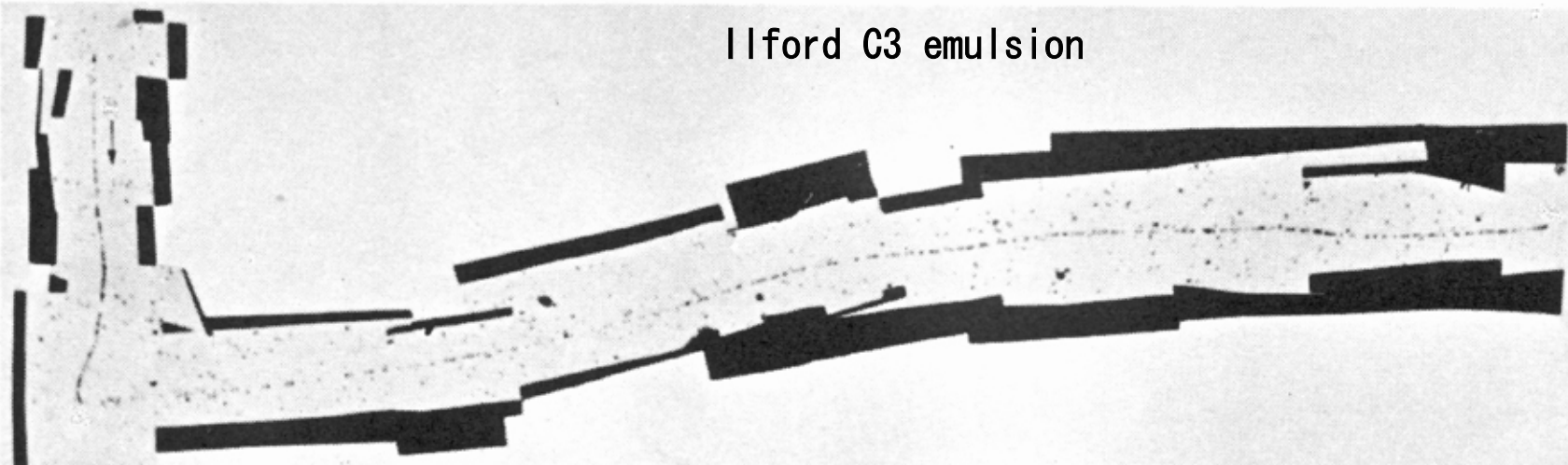
n

p

# 1-1. 湯川中間子( $\pi$ )、 $\mu$ の発見

1947 Lattes, C. F. Powell, G. P. S. Occhialini (??)

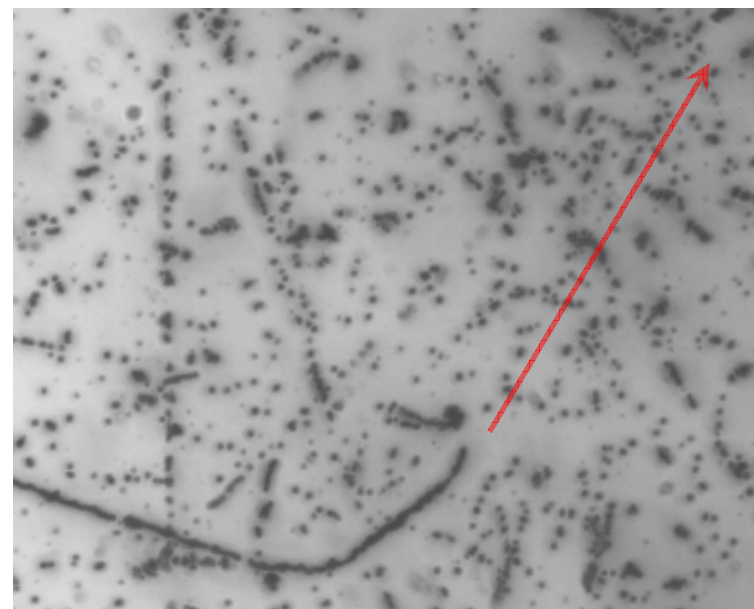
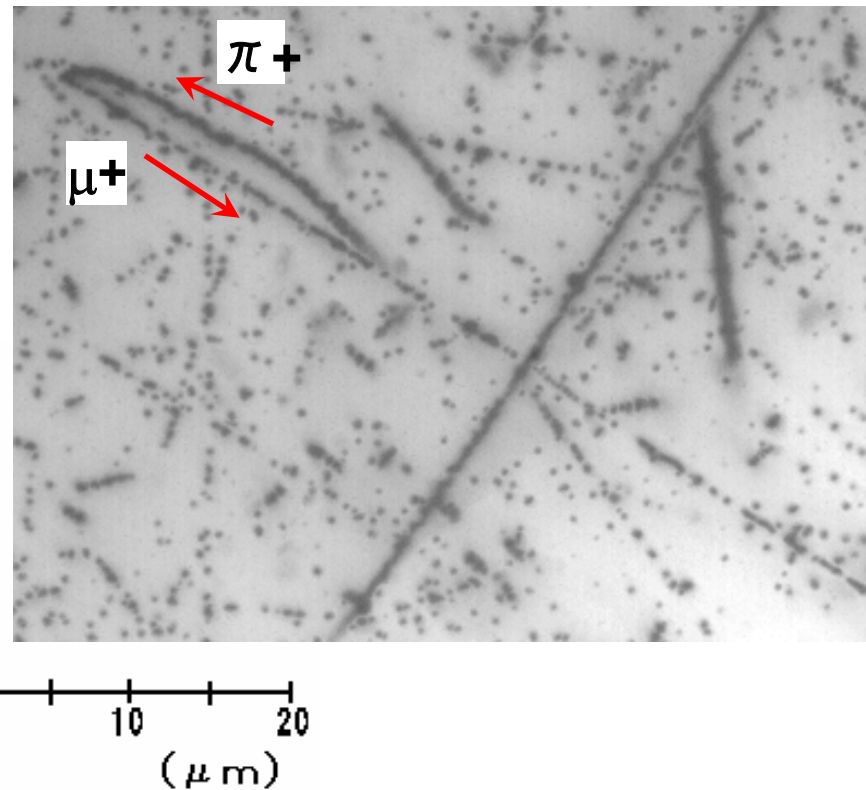
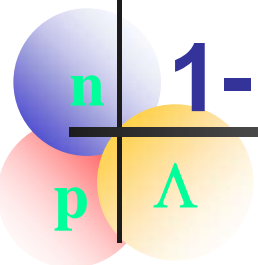
*Nature* 160 (1947) 453



1947年に撮影されたパイ中間子の最初の写真の1枚。左下でパイ中間子が止められ、崩壊してミューオンを放出している。ミューオンは右の方向に進んでいる。

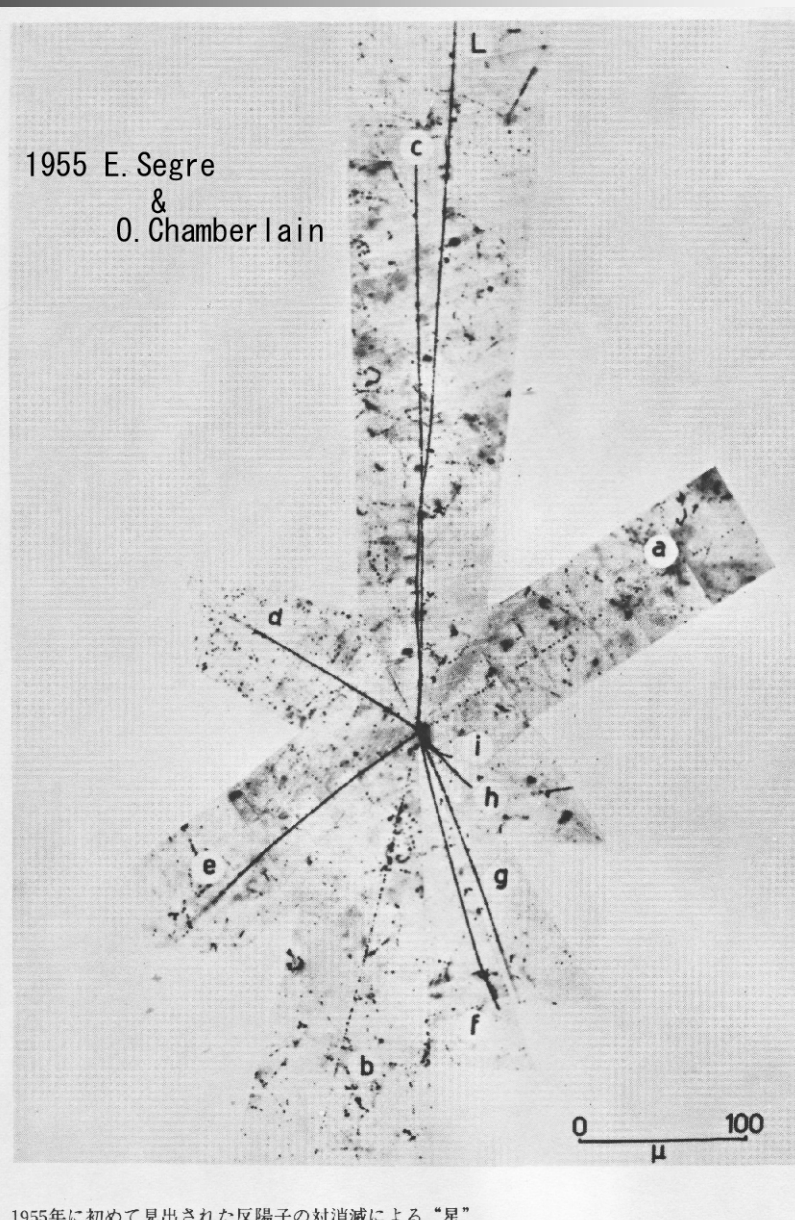
「電子と原子核の発見」  
ワインバーグ著 本間訳  
日経サイエンス (1986)  
p198

# 1-1. $\pi^+ \rightarrow \mu^+ \rightarrow e^+$ 崩壊(現在の乾板)



n  
p  
Λ

## 1-2. 反陽子の発見



Ilford C3 emulsion

「電子と原子核の発見」  
ワインバーグ著 本間訳  
日経サイエンス(1986)p196

# 1-3. どうやってエネルギーを決めるか

n

p

## γ線の部

「宇宙線研究」  
武谷三男編  
岩波書店 (1970) p282

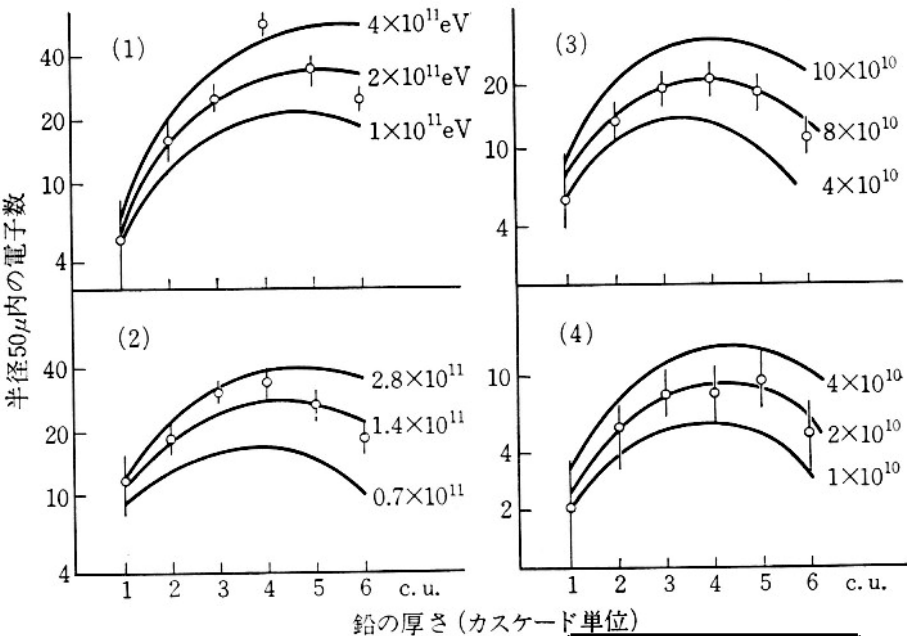


図 10-9 電子数計数法により実験値と理論値との比較から電子シャワーのエネルギーをきめた例。

$$E_1 = (2.0 \pm 0.30) \times 10^{11} \text{ eV}$$

$$E_2 = (1.4 \pm 0.76) \times 10^{11} \text{ eV}$$

$$E_3 = (0.8 \pm 0.18) \times 10^{11} \text{ eV}$$

$$E_4 = (0.2 \pm 0.07) \times 10^{11} \text{ eV}$$

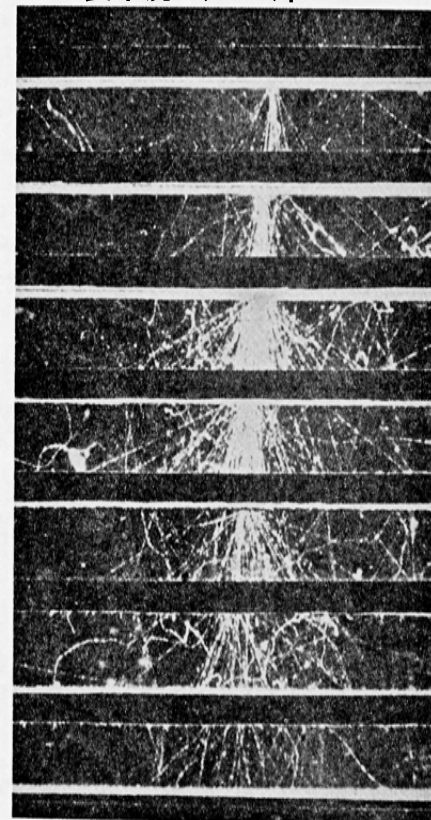
古くは、モリエール関数が使われた。  
1950年頃以降は  
西村・鎌田(N-K)関数  
がシャワー分析に使われるようになった

「宇宙線」

小田稔著

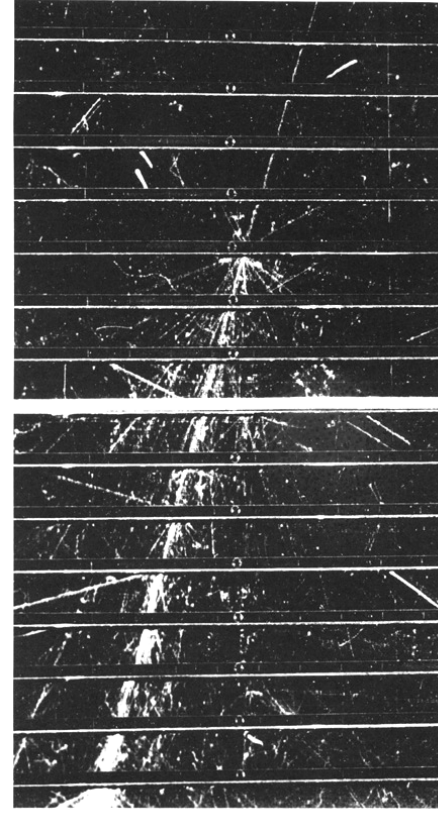
裳華房 (1985) p66

ハドロンシャワー

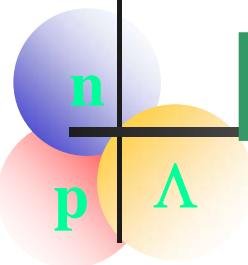


2-28 図 カスケードシャワーの露箱写真

露箱の中には 1.8 cm の鉛板が 8 枚入っている。写真是約 4 GeV の光子が入射して起きた典型的なカスケードシャワーであり、電子数の増殖と減衰の過程をはっきり見ることができる。



**最近の証拠** 銀河系外の宇宙の一部で、最近見つけてきたという証拠は、このような露箱で撮影した一次宇宙線の軌跡の写真にみることができます。この写真是、ミシガン大学のヘンデル(Alfred Z. Hendel)が想像とともにポリビアの高さ 1 万 7200 フィート(約 5200 メートル)のチカラタケ山頂で撮ったものである。この露箱には 17 枚の鉛の板があって、それぞれ 0.5 インチ(約 1.27 センチ)の厚さである。宇宙線(この場合は高エネルギーのプロトロン)は、上からはいってきて 5 枚の板を通過するが、そのときの電子のエネルギーは、およそ 1 兆 1000 億電子カルブである。非常に強力なものである。



## 荷電粒子の部

### 1. Energy-loss : Bethe-Bloch equation

$$-\frac{dE}{dx} = K z^2 \frac{Z}{A} \frac{1}{\beta^2} \left[ \frac{1}{2} \ln \frac{2m_e c^2 \beta^2 \gamma^2 T_{\max}}{I^2} - \beta^2 - \frac{\delta}{2} \right].$$

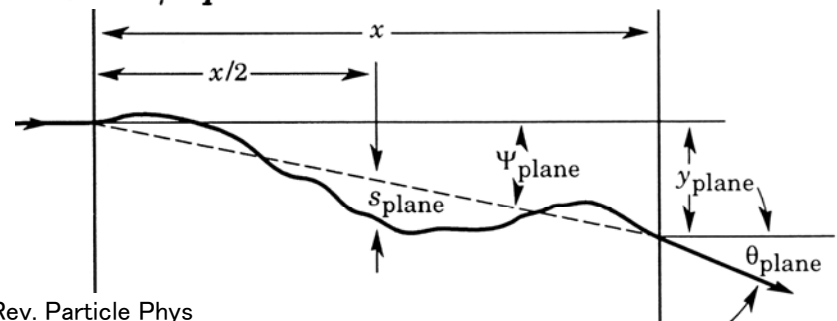
==>> 現像銀粒子数計測

==>> 散乱電子( $\delta$ -ray)計測

==>> Range-Energy relation

### 2. 多重散乱

$$\theta_0 = \frac{13.6 \text{ MeV}}{\beta cp} z \sqrt{x/X_0} \left[ 1 + 0.038 \ln(x/X_0) \right].$$



Rev. Particle Phys

Figure 23.6: Quantities used to describe multiple Coulomb scattering. The particle is incident in the plane of the figure.

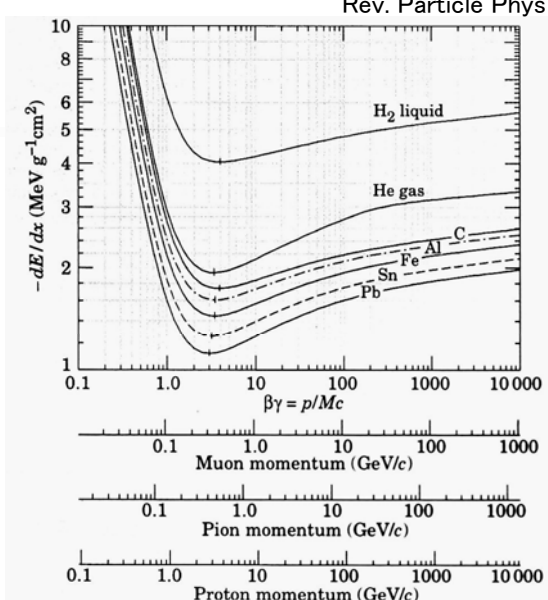
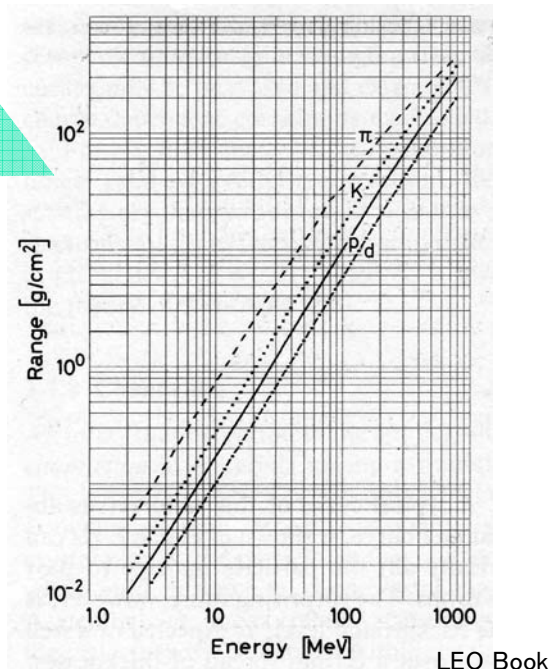


Figure 23.3: Energy loss rate in liquid (bubble chamber) hydrogen, gaseous helium, carbon, aluminum, tin, and lead.



LEO Book

## 2-1. 宇宙線を用いた気球・航空機利用実験

n  
p  
Λ

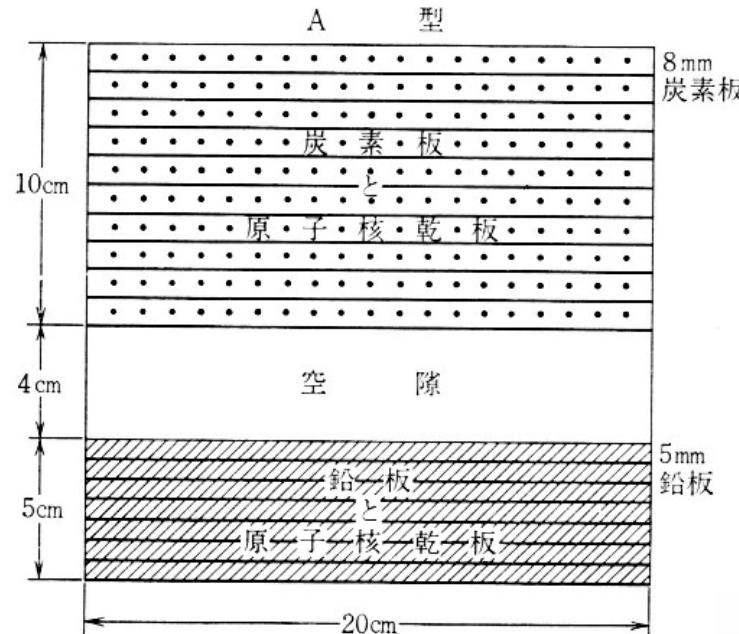
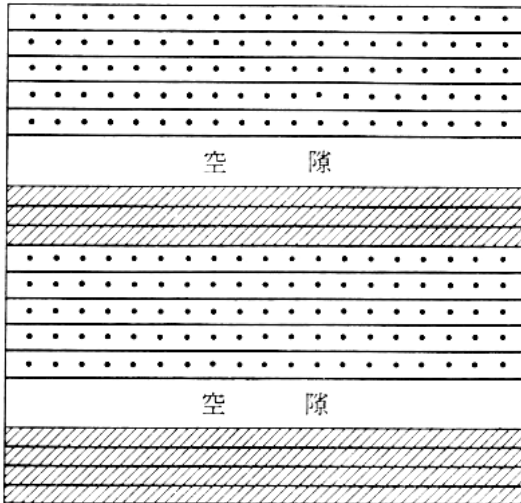
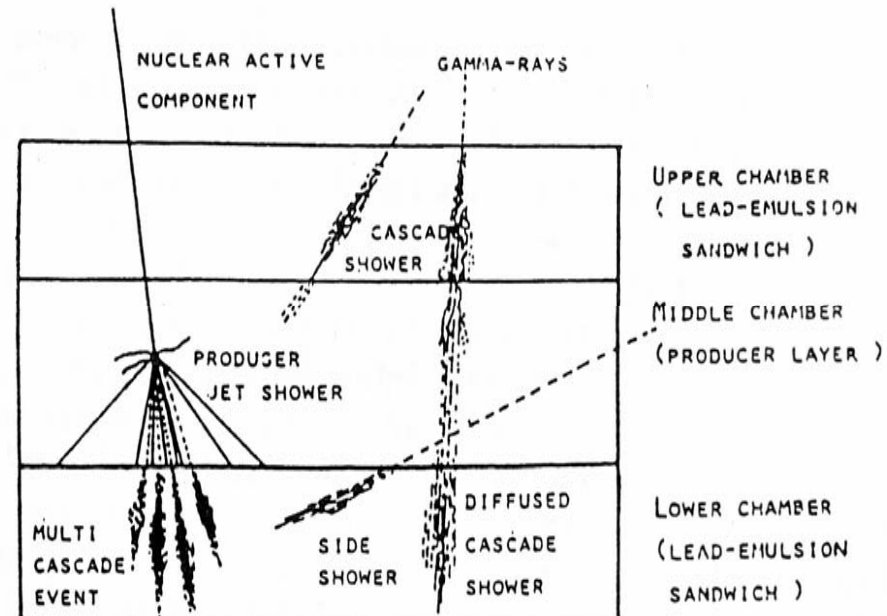


図 10-2 気球用に設計された ECC のデザイン。

B 型



「宇宙線研究」  
武谷三男編  
岩波書店 (1970) p267



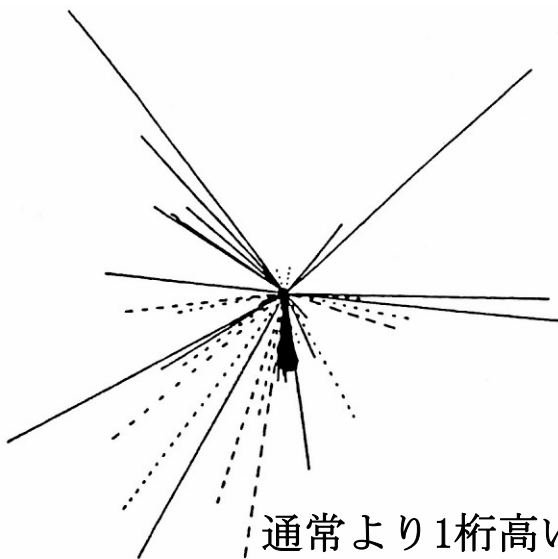
n

p

 $\Lambda$ 

## 2-1. 新粒子発見 by 丹生

航空機に乗せて宇宙線照射



通常より1桁高いエネルギー  
の $\gamma$ 線が2個あった

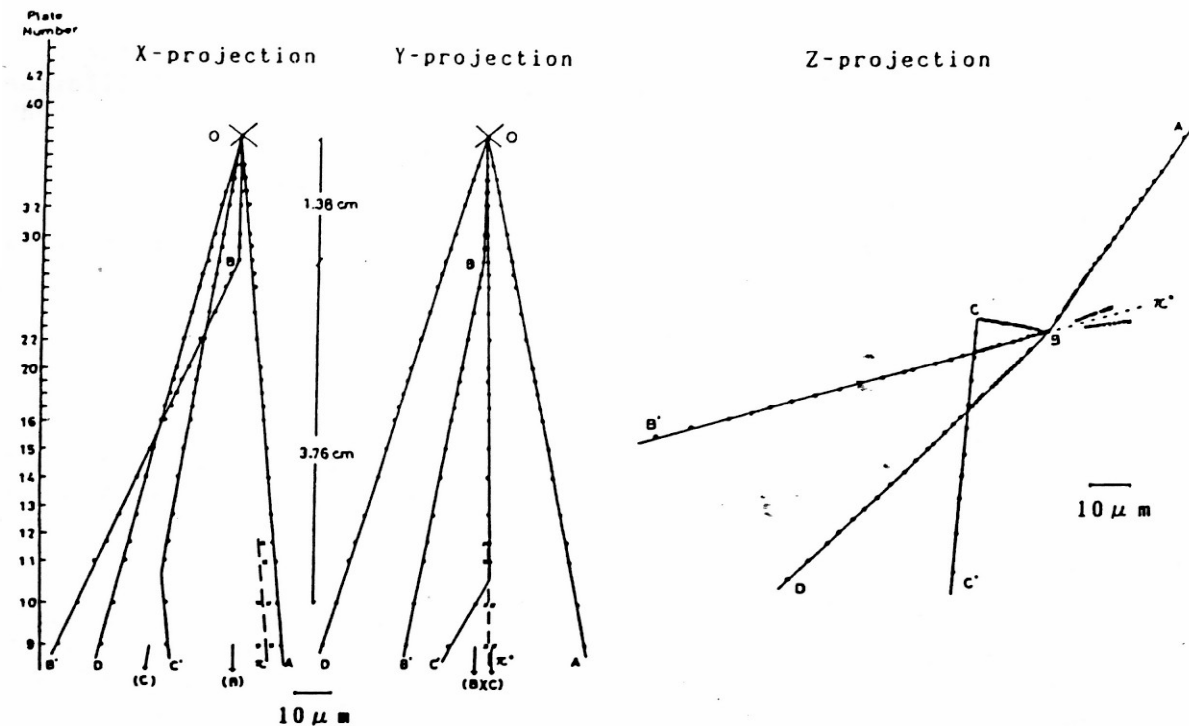


Table I Mass and decay time of X-particle.

Fig. 5 Schematical illustration of the jet shower,  $(19 + 70)n$  in which a pair of charm decays was discovered.

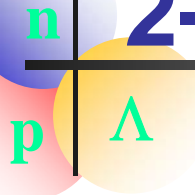
$\Rightarrow$  Prog. Theor. Phys. 46 (1971) 1644

理論屋(小川)…第4の粒子である

$\Rightarrow$  1971 宇宙線国際会議(オーストラリア)で報告

Parent X	Assumed Decay mode	Mx GeV	Tx sec
OB	$X \rightarrow \pi^0 \pi^{+/-}$	1.78	$2.2 \times 10^{-14}$
	$X \rightarrow \pi^0 K^{+/-}$	2.15	$2.7 \times 10^{-14}$
	$X \rightarrow \pi^0 p^+$	2.95	$3.6 \times 10^{-14}$
	$X \rightarrow \pi^0 \Sigma^{+/-}$	3.5	$4.2 \times 10^{-14}$
OC	$X \rightarrow ?^0 ?^{+/-}$		$< 1.5 \times 10^{-12}$

# 2-1. J/ψ発見と原子核乾板実験

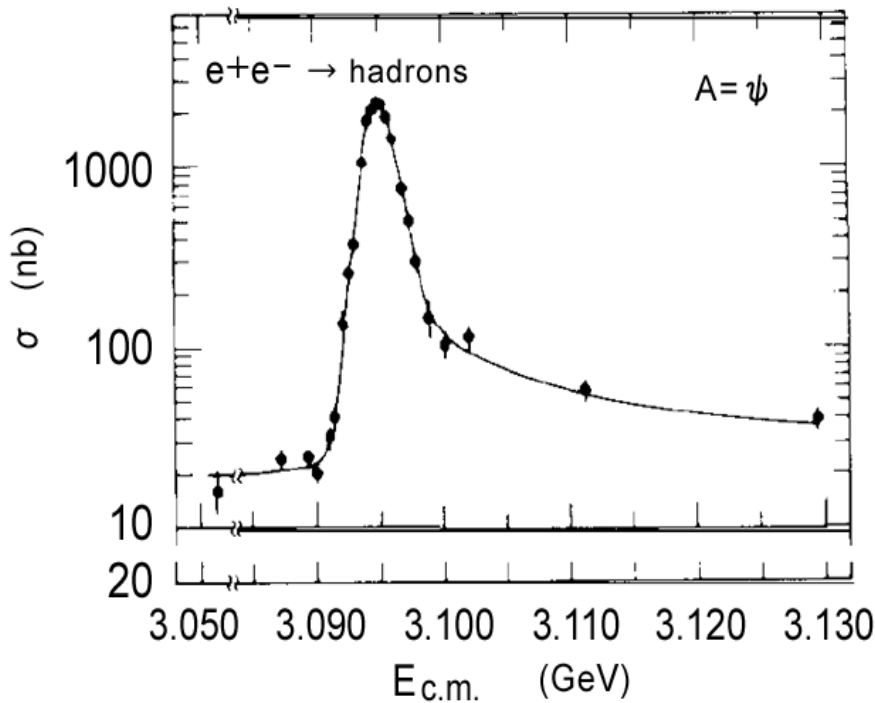


高統計を狙える解析手法

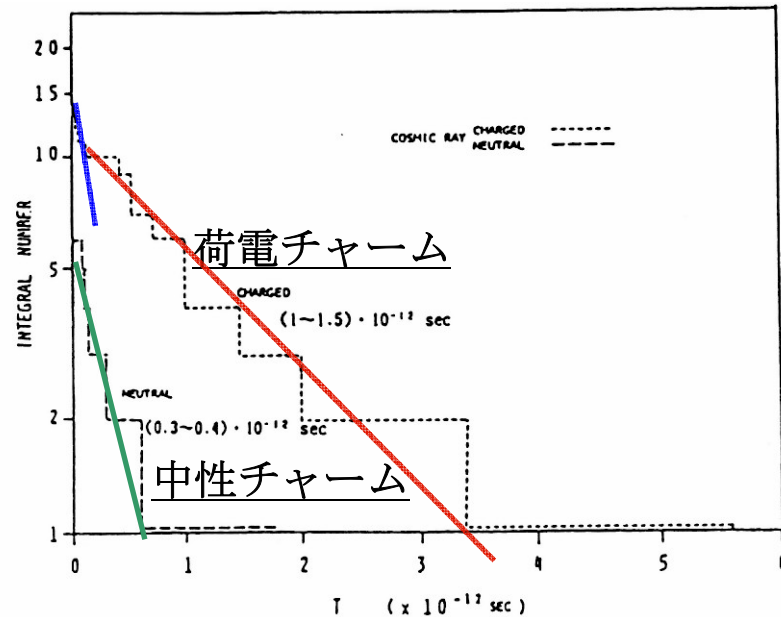
$\Rightarrow$  コンピュータ支援が不可欠

1974

電子陽電子衝突反応によるJ/ψ中間子の発見（バートン・リヒターのノーベル賞講演録より）。衝突エネルギーが3.090GeVを越える付近から、ハドロン生成断面積が100倍以上増加している。



1975      up to 1985



Life-time difference between charged and neutral charm particles observed in cosmic ray experiment (up to 1975)

$$\tau(D^0) \sim 0.4 \times 10^{-12} \text{ sec}$$

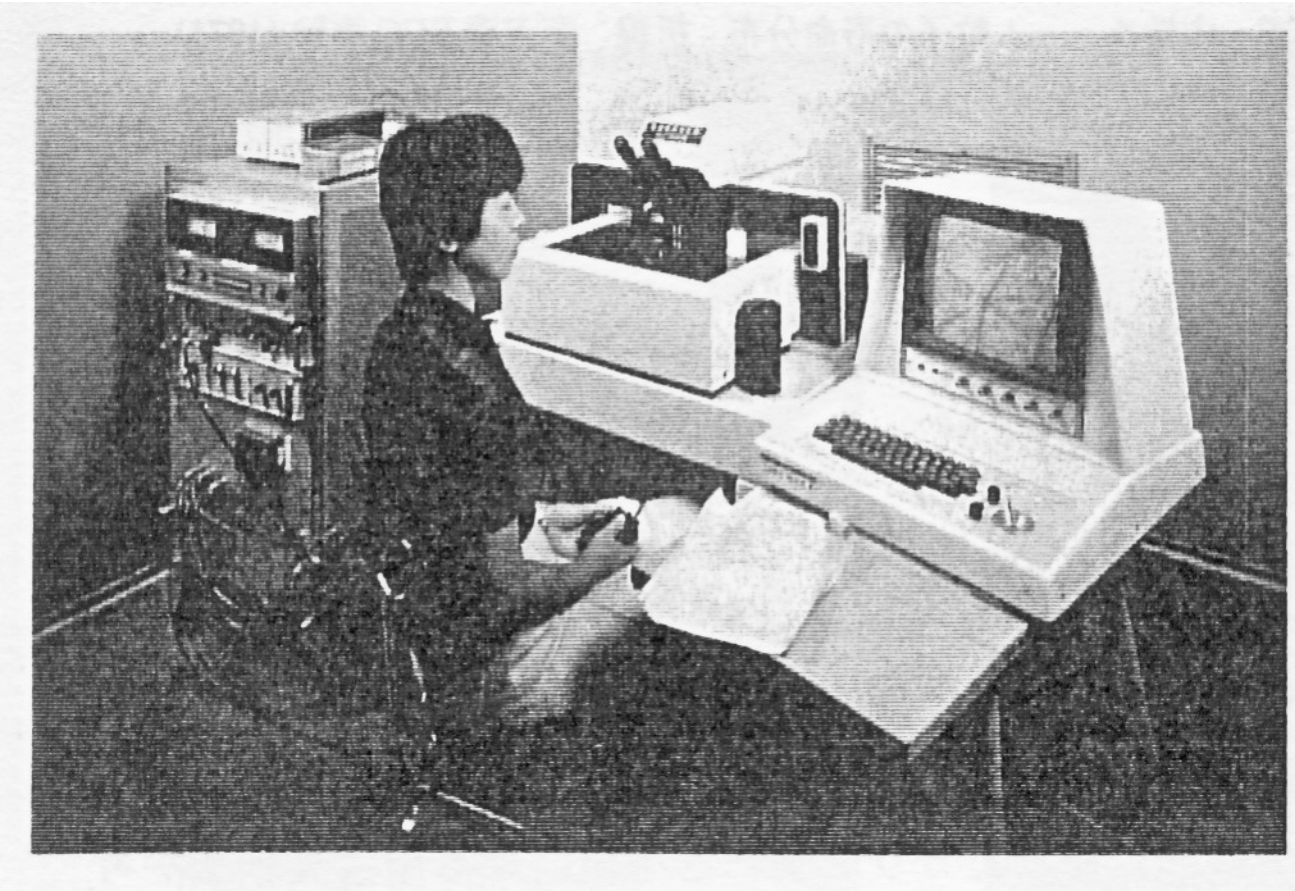
$$\tau(D^\pm) \sim 1.1 \times 10^{-12} \text{ sec}$$

$$\tau(Ds^+) \sim 0.3 \times 10^{-12} \text{ sec}$$

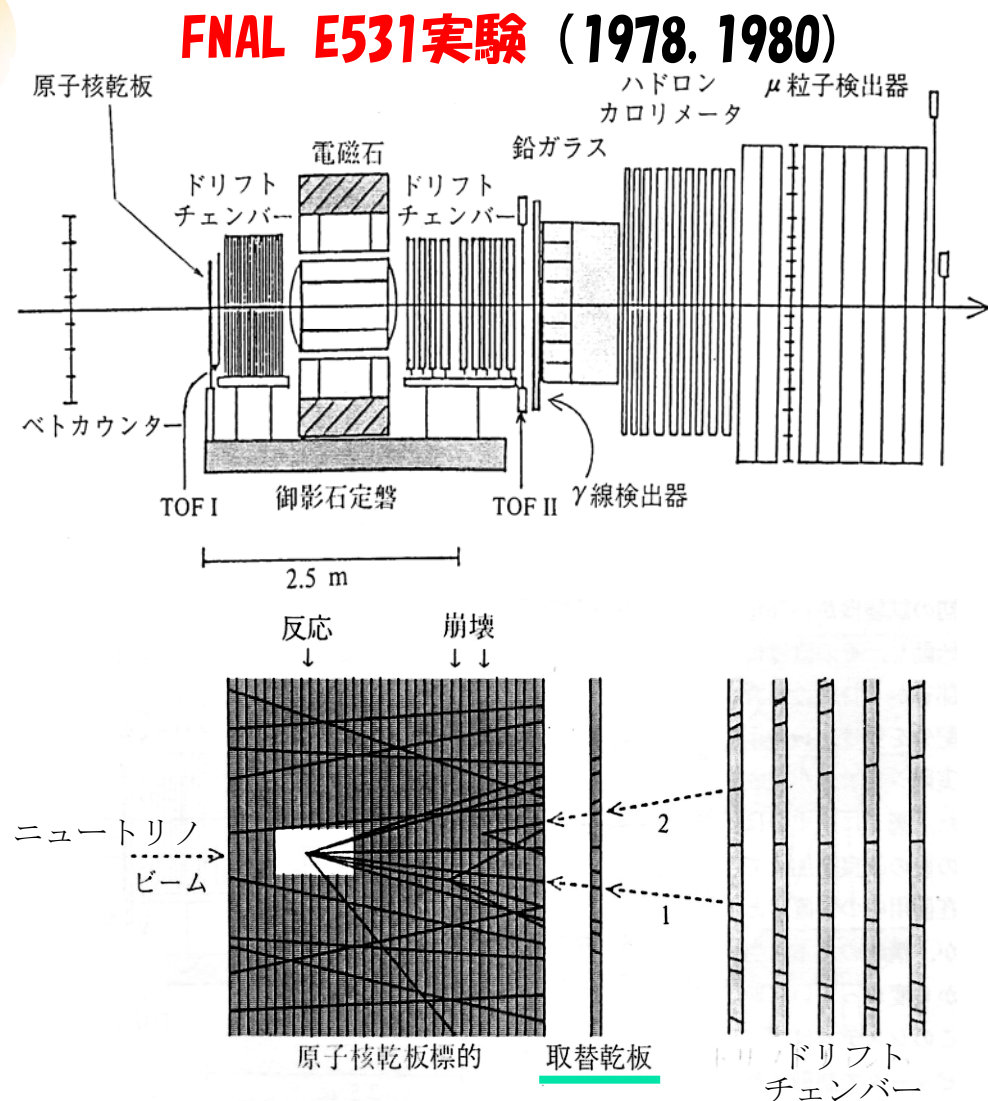
$$\tau(\Lambda c^+) \sim 0.2 \times 10^{-12} \text{ sec}$$

## 2-2. Hybrid実験の始まり

### 2-2-1. コンピュータ支援飛跡探索(1976)



## 2-2-2. Hybrid実験(他の検出器との併用)のための開発



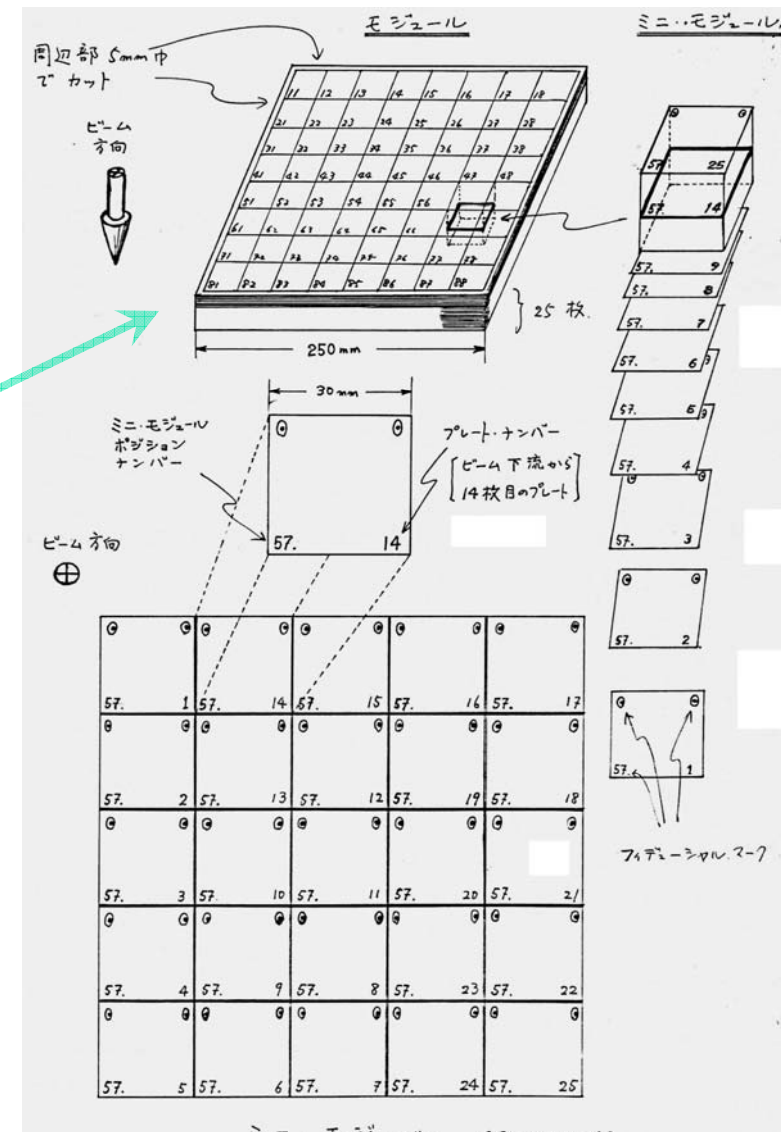
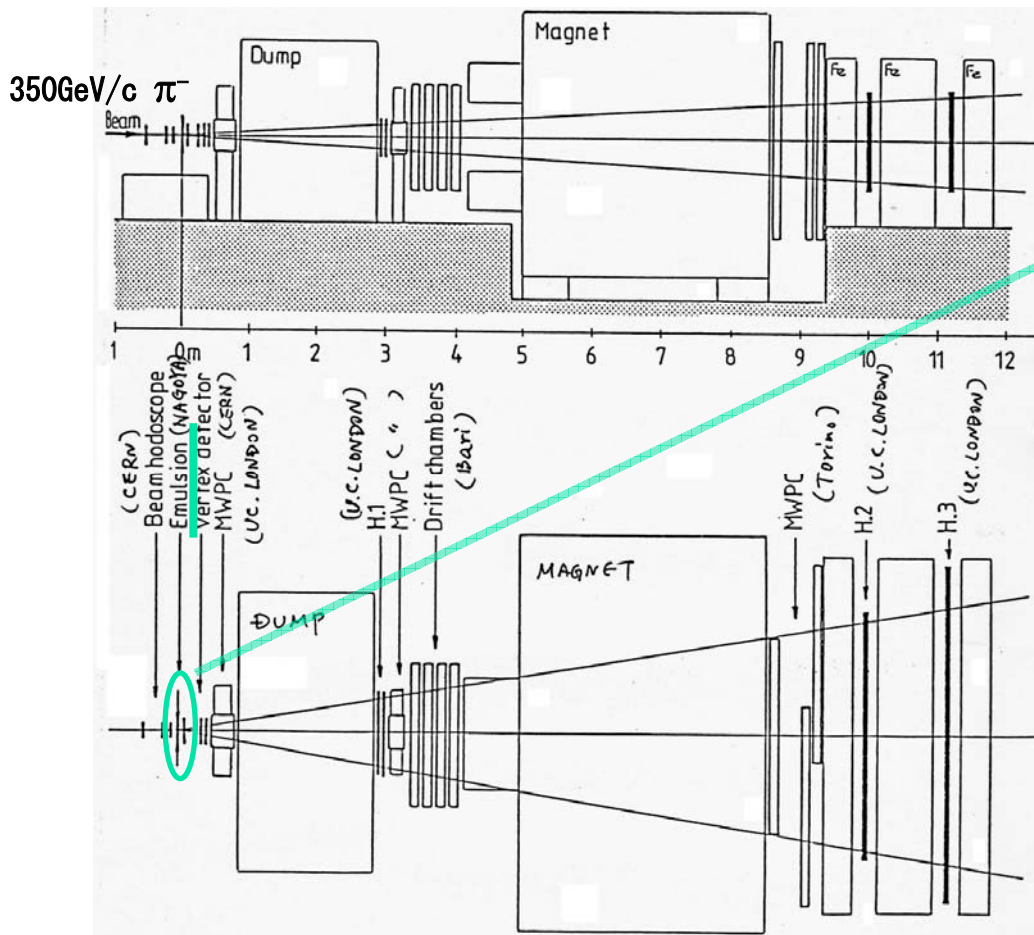
約100個のチャーム粒子  
 $\Rightarrow$  寿命測定  
 $(D^0, D^\pm, D_s^+, \Lambda_c^+)$

図4 複合装置による反応と崩壊飛跡の検出法。限定体積法: 白抜き部分の探索,  
逆追跡法: 1—反応検出, 2—中性崩壊検出。

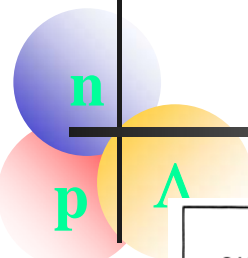
# CERN WA75実験 (1983~) ナノバーン現象の発見へ

仲澤が「もぐり」で参加

## ボトム (beauty) 粒子探査



ミニ・モジュール (貼り付け後)



ピュアティ

00(1985)news p. 6

## ピュアティ粒子の正体をあばく $B^- - \bar{B}^0$ 対発生の直接観測

質量 5 GeV 近くの 5 番目の b クォークは u クォーク; d クォークと異なり普通には存在しない。そこで高エネルギー粒子衝突が使われるが、その際、必ず b と  $\bar{b}$  の対で作られる。したがって、b を含むハドロンの発生点の様子を確認し、崩壊までの飛跡を直接観測すれば、b クォーク物理に多くの情報が与えられよう。

1985 年 4 月 29 日付けの CERN 所報によれば、日本・ベルギー・イギリス・イタリア・アイルランド・スイスの連合チーム\*(スイス・ジュネーブ近郊にある CERN の共同研究 WA75)は、エレクトロニクスと原子核乾板を巧みに組み合わせた粒子飛跡測定装置に 350 GeV/c の  $\pi^-$ ビームを照射させる実験で、原子核乾板の中で  $\pi^-$ が核に衝突し、ピュアティ(brightness)粒子(またはボトム(bottom)粒子ともいう)対( $B^- - \bar{B}^0$ )を生成し、引き続きそれが 2 個のチャーム粒子(順に  $D^0$  と  $D^+$ )に崩壊している事例を発見した<sup>1)</sup>。クォーク模型では  $B^-$  は b クォーク  $\bar{u}$  クォークで構成され、すなわち  $B^- =$

- ピュアティ粒子の正体をあばく
- 時間の逆転する宇宙
- クォーク-グルーオンプラズマは見つかったか?

## 初めて発見された B メソン [寿命 ~ $10^{-13}$ sec]

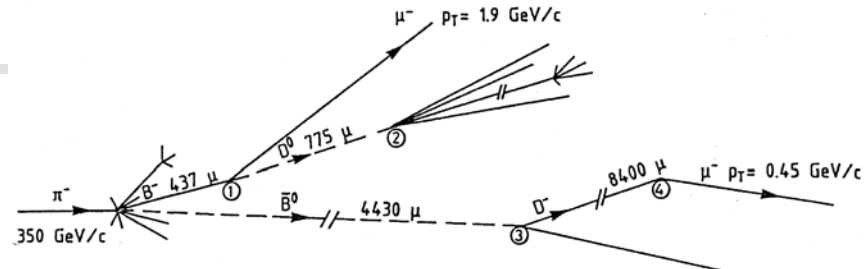


Fig. 3. Sketch of the  $B^- - \bar{B}^0$  event.

J.P.Albanese et al., Phys. Lett. 158B (1985)186

## 初めて発見された 2 対チャーム(4 個)生成事象

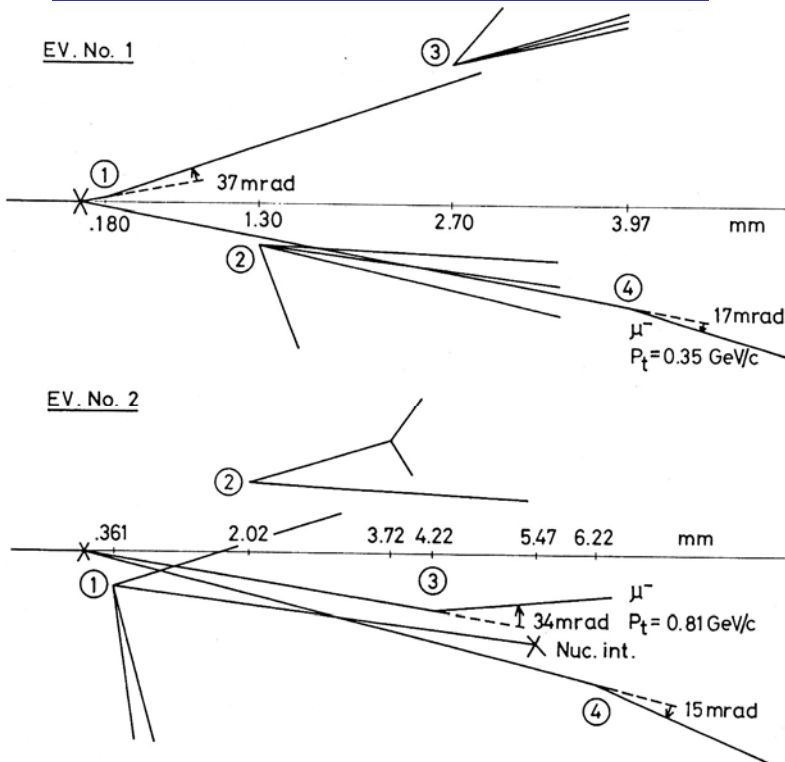


Fig. 1. Sketches of the events.

S.Aoki et al., Phys. Lett. 187B (1987)185

n

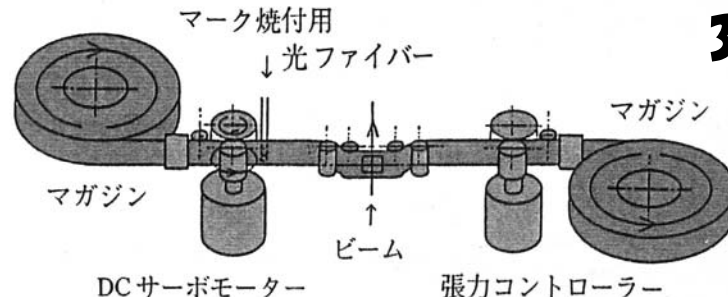
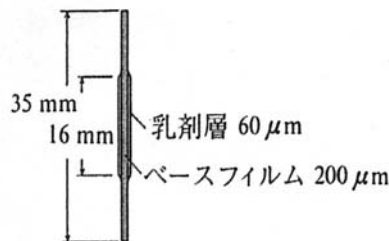
p

## 2-3. その他の実験

1987年岐阜へ

### FNAL E653実験 (1987~) ……もっとbeautyを

エマルジョンテープの断面

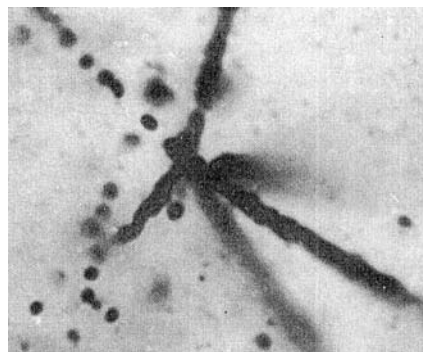


30kgのトランク

図 10 エマルジョンテープ

### KEK E176実験 (1988~) ……ダブルハイパー核を見たい

S.Aoki et al, PTP.85(1991)1287



in ~80 Estops

### 気球実験 (1989~) ……一次宇宙線中の超重核 (?) 発見

### 地下ラドンガス測定 (1987~) ……地震の前兆現象か (?)

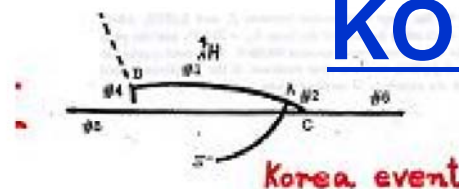
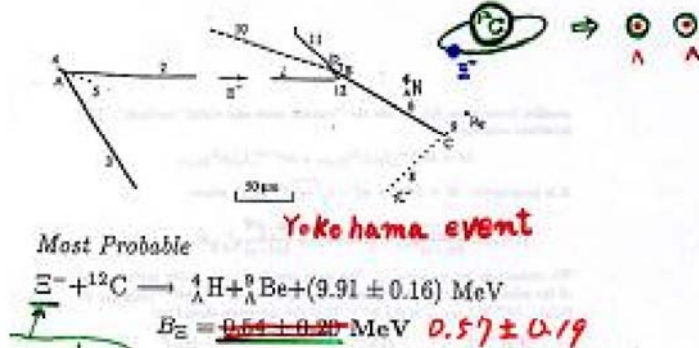
1991年 仲澤 “悟る” ……もっとダブルハイパー核を

E176

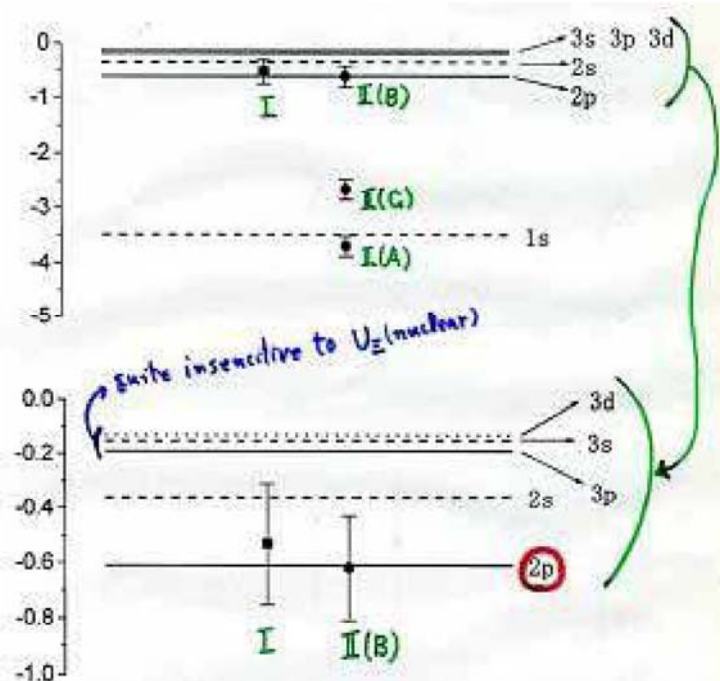
 $\Xi$ -nucleus potential well depth :  $U_{\text{o}\Xi}$ 

n      p       $\Lambda$

## YOKOHAMA event



- (A)  $\Xi^- + {}^{12}\text{C} \rightarrow {}^1\text{H} + {}^9\text{Be} + (9.91 \pm 0.16) \text{ MeV}$   
 $B_\Xi = 3.70^{+0.18}_{-0.19} \text{ MeV}$
- (B)  $\Xi^- + {}^{12}\text{C} \rightarrow {}^1\text{H} + {}^9\text{Be}^* + (6.83 \pm 0.16) \text{ MeV}$   
 $B_\Xi = 0.02^{+0.18}_{-0.19} \text{ MeV} \quad 0.59 \pm 0.18$
- (C)  $\Xi^- + {}^{12}\text{C} \rightarrow {}^1\text{H} + {}^9\text{Be} + (8.87 \pm 0.16) \text{ MeV}$   
 $B_\Xi = 2.66^{+0.18}_{-0.19} \text{ MeV}$



If 2p bound states  
 $U_0 \sim -16 \text{ MeV}$

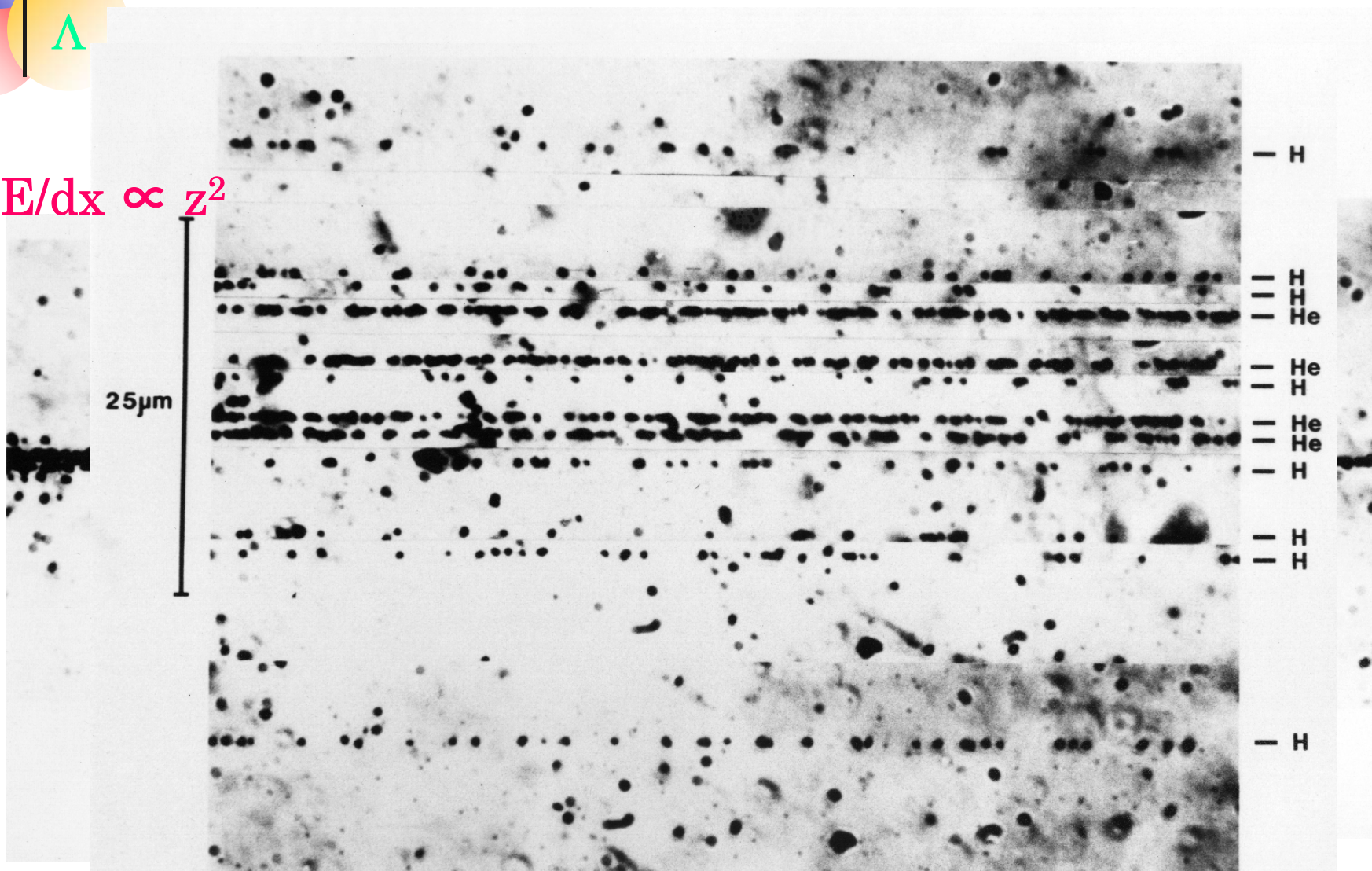
n  
p  $\Lambda$

# 電磁氣的相互作用 [電磁氣的破碎現象]

$$dE/dx \propto z^2$$

25 $\mu\text{m}$

20mm from origin

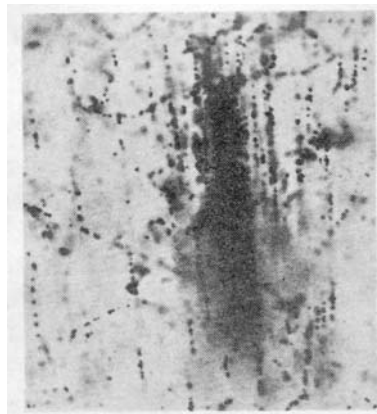


n

p

### 3-1. 原子核乾板取扱い手法の開発

**出身** : 東北大・泡箱(ホログラフィー)…チャーム粒子  
**1983** : 弘前・修士…宇宙線観測(ECC)



エネルギー決定のためのshower count

大抵熟練者が多くカウントできる

=> 誰でも同じ数になるべき!!

1. 乾板の膨潤(乾燥したトコロテン)

薄くなつて“寝た”飛跡を立たせる  
 ・凍結乾燥後、種々の薬品注入

教育学部・家政学科  
 医学部・内視鏡手術

2. 輝度反転画像の取得

ファイバーによる落射光源

**1983** : 名大で発表後、研究室「図書室」の住人となる

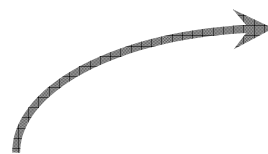
**1984** : 名古屋へ引越し(委託学生[ただし制度はない])

#### 開発目標の変更

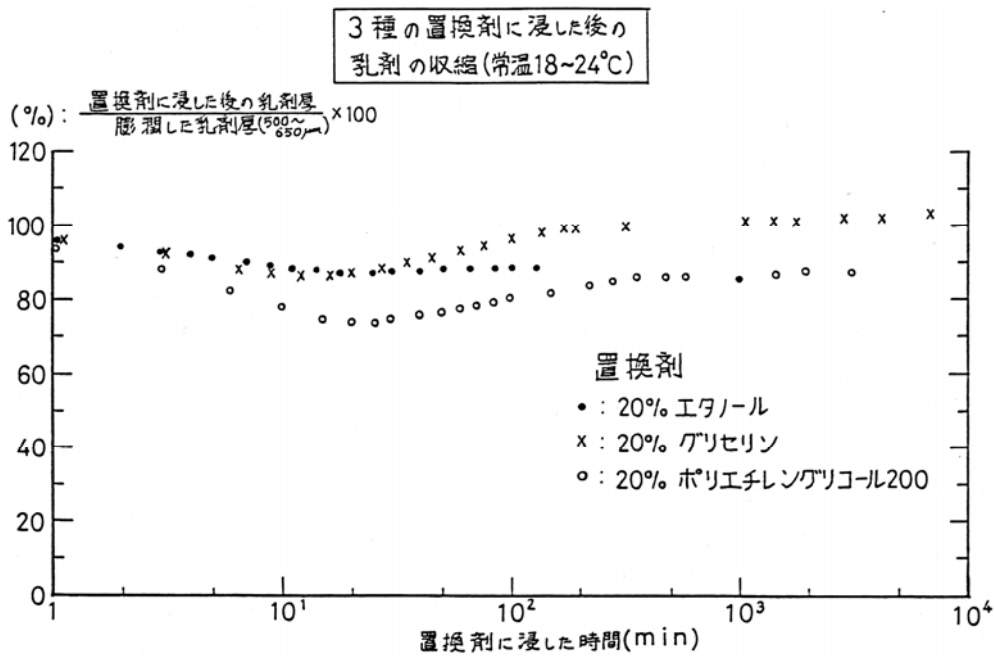
- ・縮んで見えなくなつた一つ一つの銀粒子の認識 => 膨潤
- ・短距離の分岐点の識別 => 銀粒子を削り光らせる
- ・WA75実験(bottom探査)に適用

n  
p  
Λ

# 1. 膨潤(静的置換)

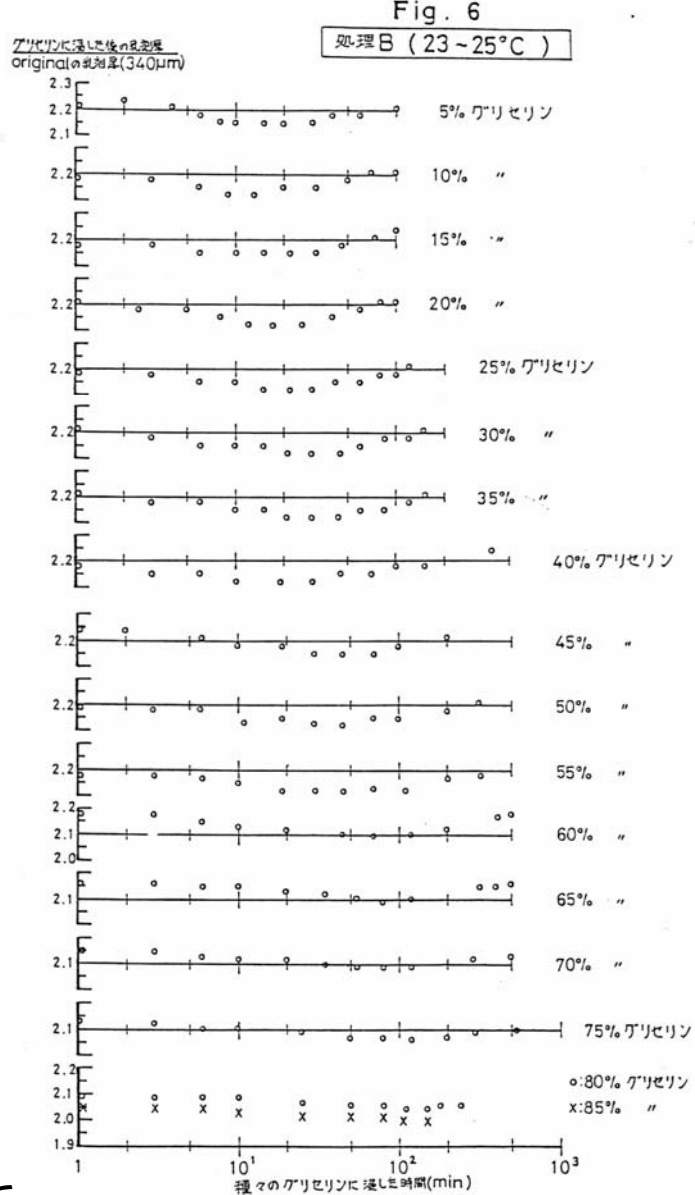


## 伸縮により飛跡が歪むのでは?



岐阜に着てからも続け約20種類の薬品(?)で試験した。  
1997年、修士学生(女性)が完成。

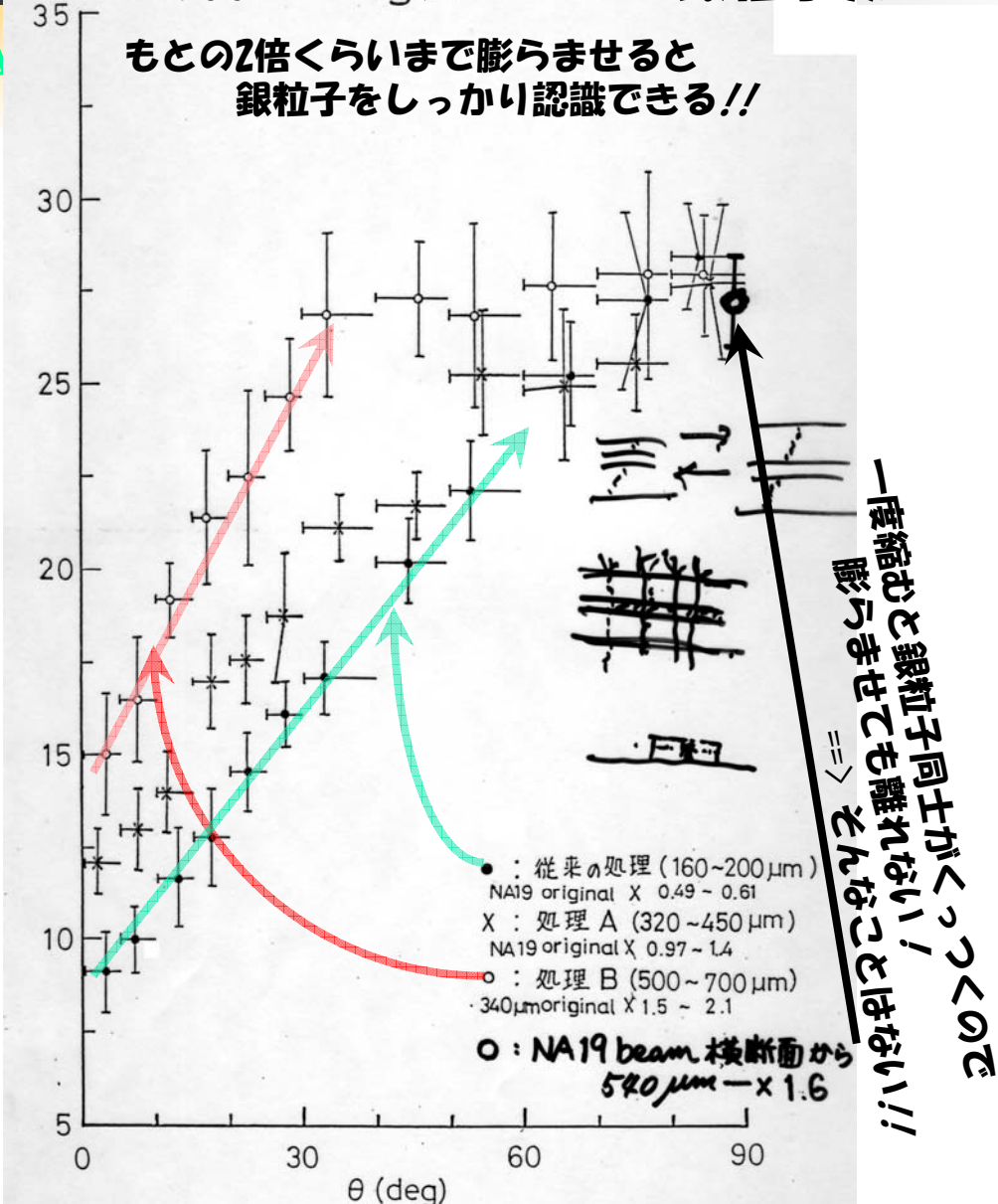
3工程の処理後、グリセリンと砂糖の混ぜ具合で膨潤後の乾き具合を調整する。



n  
p

No. of blobs  
original 100μm 100ミクロンあたりの銀粒子数

もとの2倍くらいまで膨らませると  
銀粒子をしっかり認識できる!!



一度縮むと銀粒子同士がくっつくなので  
膨らませても離れない!  
⇒ そんなことはない!!

複雑な反応など、  
切って観察できる

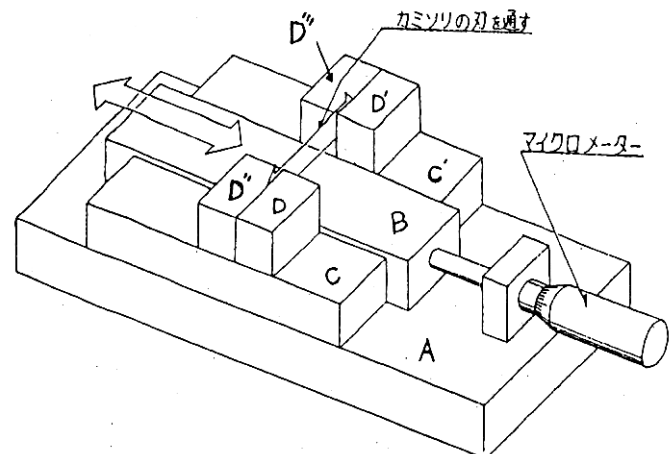


Fig.C14 Slice のジグ

貴重な事象などを含んで  
厚み0.3mm内でスライス  
=> 手が震える  
一般的に“男”はダメ

n

p

 $\Lambda$ 

## 2. 銀粒子を削り光らせる

最初のうちは単に漂白剤に浸けた  $\Rightarrow$  乾板表面に析出する銀の除去に利用

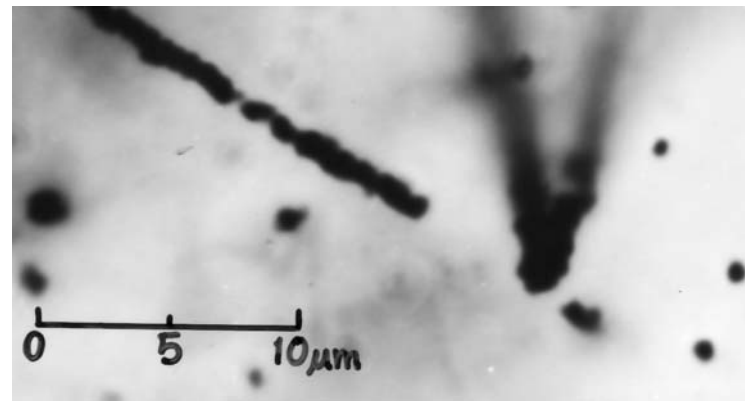


学部の頃のホログラム技術を思い出す。

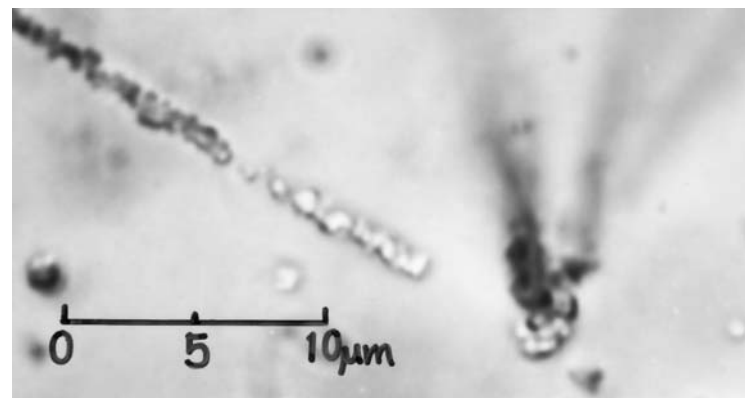
- ・ 塩酸で削り、
- ・ 重クロム酸アンモニウムなどで透明に

まだ、実用化に至っていない…  
時間と温度の厳しい管理が必要

処理前



処理後



n

p

 $\Lambda$ 

### 3. WA75実験に適用

未完成ではあったが膨潤技術はおおいに役立った。

1スタック25枚を膨潤

E176ダブルハイパー核実験では

10個以上の貴重な事象を、膨潤・スライス  
確かなダブルハイパー核も

初めてのモニターTVでの探索に、涙…。



午前8時くらいから午後8時くらいまで顕微鏡に向かう  
[中国・山西師範大学院生]

## 3-2. 飛跡探索の自動化

n  
p  
Λ

### 名大 [素粒子実験：straight track]

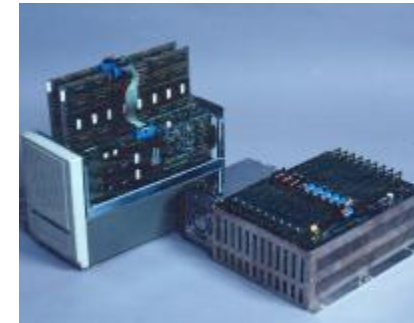
初代自動飛跡読取装置(1985年)



TS(Track Selector)(1994年)



NTS(New Track Selector)(1996年)



S-UTS 開発中  
(Super-Ultra Track Selector)

UTS(Ultra Track Selector)(1998年)



### 岐大 [ハイパー核実験：dizzy track/半自動化]

1998 30Hz画像処理ボードの利用

2004 100Hz画像処理ボードの利用・超高輝度LED光源

200? 500Hz画像処理ボードの利用

# 岐阜大のシステム

n

p

 $\Lambda$ 

## A new microscope and system

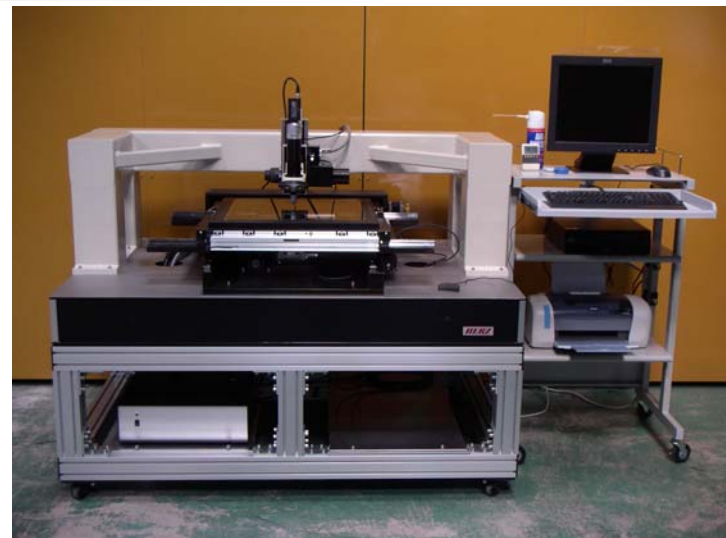
Area:  $35 \times 35 \text{ cm}^2 \rightarrow 40 \times 40 \text{ cm}^2$

Light: Halogen Lamp  $\rightarrow$  High power LED (5W)

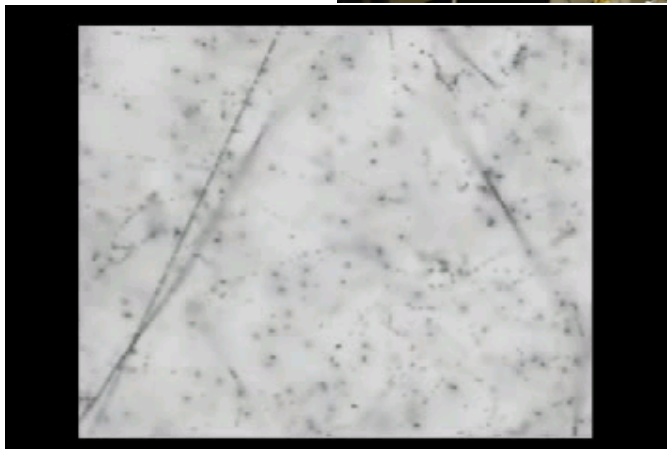
CCD Camera : 30 Hz  $\rightarrow$  100 Hz

**Images are shown:**

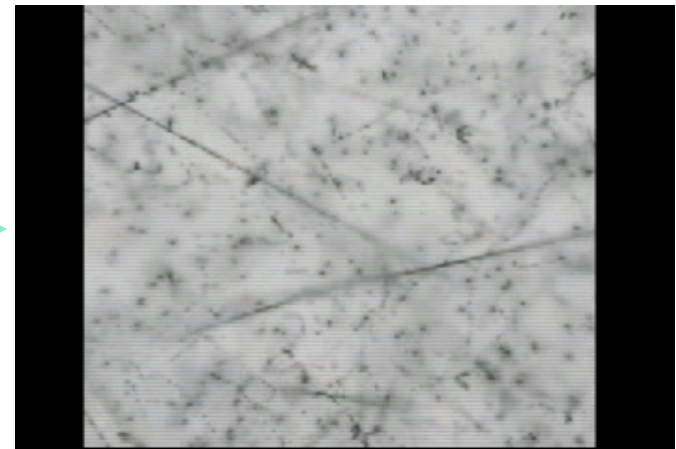
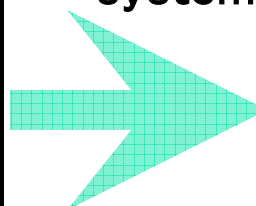
1. Surface detection  
 $\Rightarrow$  Grid measurement  
for position calib.
2. Track scanning



Old  
system



Developed  
system



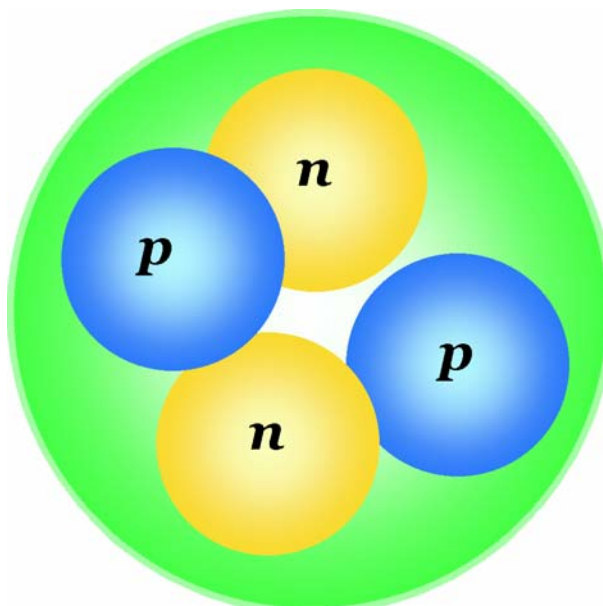
This system for re-scanning of E373.

For J-PARC experiment : 100 Hz  $\rightarrow$  500 Hz with CMOS Camera

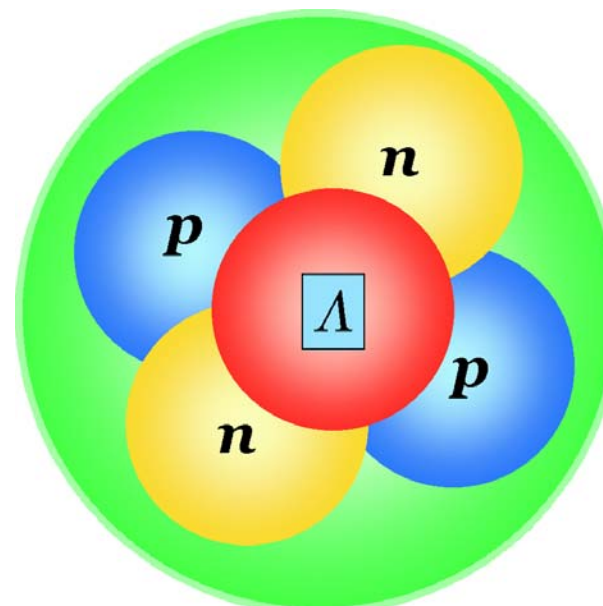
## 3-3. ダブルハイパー核実験 開発・成果

### What can be measured in Emulsion ?

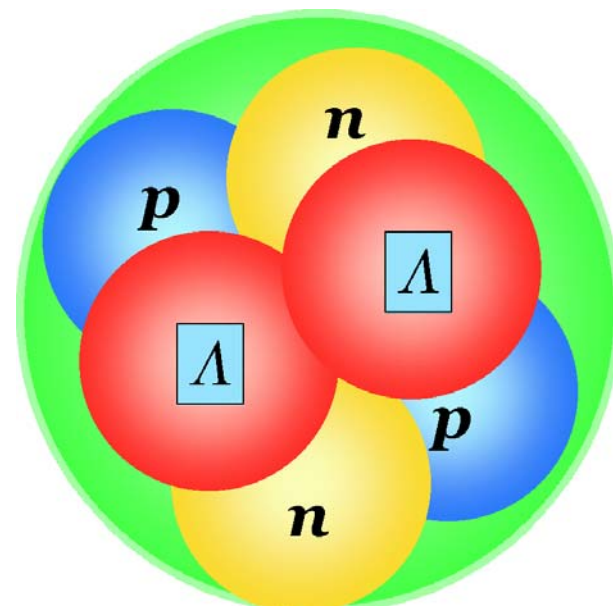
Normal nucleus  
 ${}^4\text{He}$



Single- $\Lambda$  nucleus  
 ${}^5_{\Lambda}\text{He}$



Double- $\Lambda$  nucleus  
 ${}^6_{\Lambda\Lambda}\text{He}$

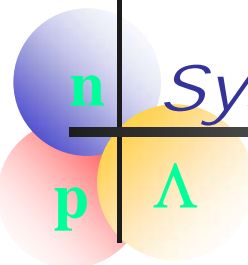


\* Mass measurement of the nucleus

$$\rightarrow \Delta B_{\Lambda\Lambda} = B_{\Lambda\Lambda}({}_{\Lambda\Lambda}^A Z) - 2B_{\Lambda}({}_{\Lambda}^{A-1} Z)$$

$\Lambda\Lambda$ -interaction energy

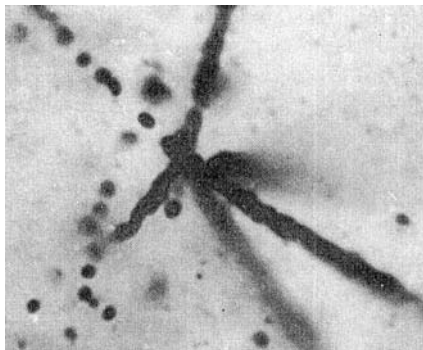
ex.  $B_{\Lambda}({}_{\Lambda}^5 \text{He}) \sim 3 \text{ MeV}$



# Systematic Study of Double Strangeness System with an Emulsion-Counter Hybrid Method

## KEK-E176

in ~80  $\Xi$  stops



Double-Hypernucleus  
with sequential decay  
surely exists.

$$^{13}_{\Lambda\Lambda}B \Delta B_{\Lambda\Lambda} = 4.9 \pm 0.7 \text{ MeV}$$

if a daughter  $^{13}_{\Lambda}C$  is in excited  
 $\Delta B_{\Lambda\Lambda} \Rightarrow \sim 0 \text{ MeV}$

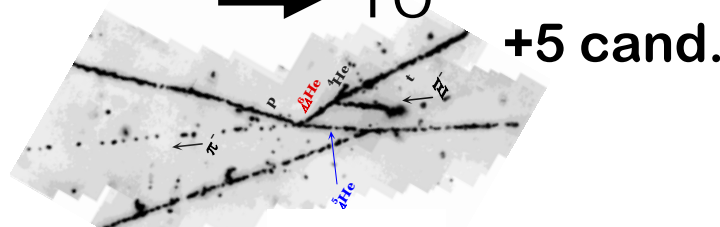
$$^{10}_{\Lambda\Lambda}Be \Delta B_{\Lambda\Lambda} = -4.8 \pm 0.7 \text{ MeV}$$

## KEK-E373

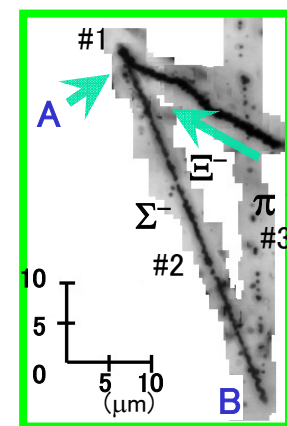
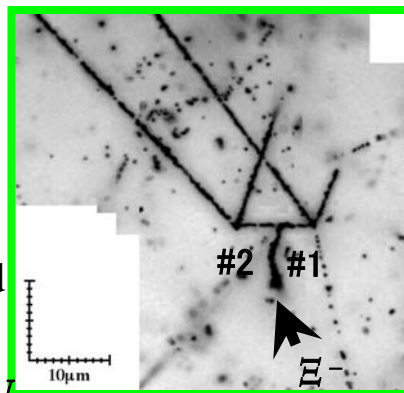
in ~600  $\Xi$  stops

$$\rightarrow 10^3$$

+5 cand.



$$\Delta B_{\Lambda\Lambda} = 1.01 \pm 0.20 \text{ MeV}$$



## J-PARC:E07

~ $10^4$   $\Xi$  stops

### 1. ~ $10^2$ S=-2 nuclei

=> S= -2 nucl. chart

=> Int. energy  
mass number dep.

### 2. $\Sigma^-$ decay events

=> S= -2 mixing  
and/or H-state

### 3. X-nucleus int.

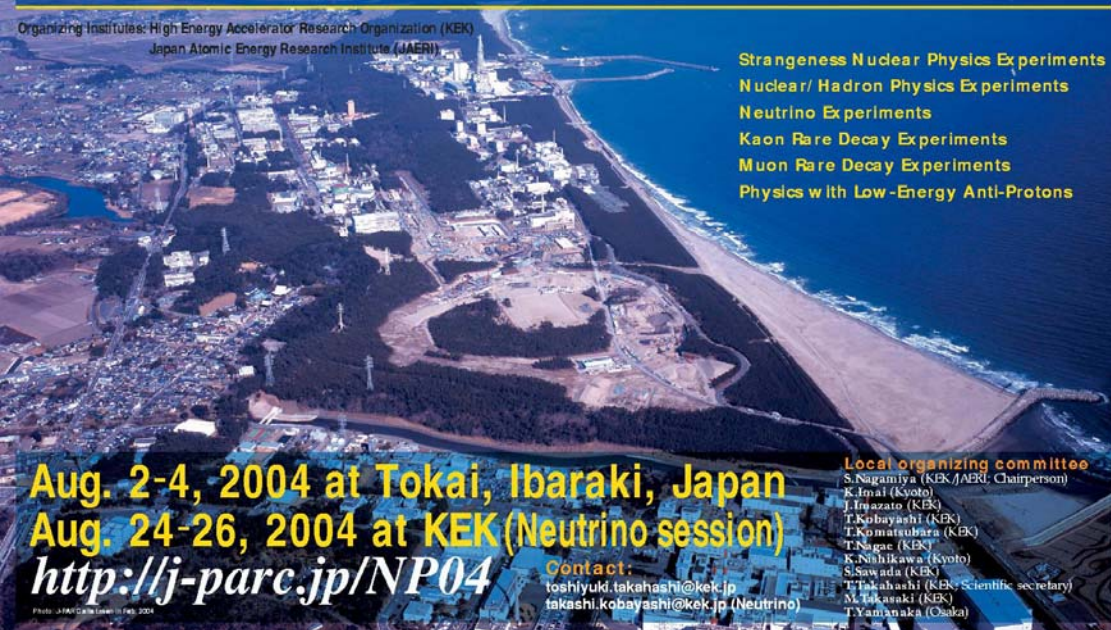
<=  $\Xi$  atomic X-ray  
<= Twin Hypernuclei

### 4. new phenomena ?

# J-PARC (Japan Proton Accelerator Research Complex)

**NP04** *The 3rd International Workshop  
on Nuclear and Particle Physics  
at J-PARC*

Organizing Institutes: High Energy Accelerator Research Organization (KEK)  
Japan Atomic Energy Research Institute (JAERI)



Strangeness Nuclear Physics Experiments  
Nuclear/ Hadron Physics Experiments  
Neutrino Experiments  
Kaon Rare Decay Experiments  
Muon Rare Decay Experiments  
Physics with Low-Energy Anti-Protons

Aug. 2-4, 2004 at Tokai, Ibaraki, Japan  
Aug. 24-26, 2004 at KEK (Neutrino session)  
<http://j-parc.jp/NP04>

Contact:  
toshiyuki.takahashi@kek.jp  
takashi.kobayashi@kek.jp (Neutrino)

Local organizing committee  
S.Nagamiya (KEK/JAERI, Chairperson)  
K.Imai (Kyoto)  
J.Iwazato (KEK)  
T.Kobayashi (KEK)  
T.Komatsu (KEK)  
T.Nagae (KEK)  
K.Nishikawa (Kyoto)  
S.Sawada (KEK)  
T.Takahashi (KEK, Scientific secretary)  
M.Ukasaki (KEK)  
T.Yamawaki (Osaka)

Photo: J-PARC Central Office in Feb. 2004

茨城県・東海村に建設中(2008年完成予定)

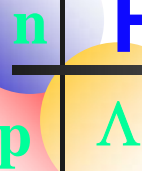
- $s=-2$   $\Xi$  nuclei,  $\Lambda\Lambda$  nuclei, ...
- $s=-3$   $\Omega$  nuclei,  $\Xi\Lambda$  nuclei, ...
- $c=+1$   $\Lambda_c^+$  nuclei, ...
- penta-quark (s, c)



ブースター部の電磁石

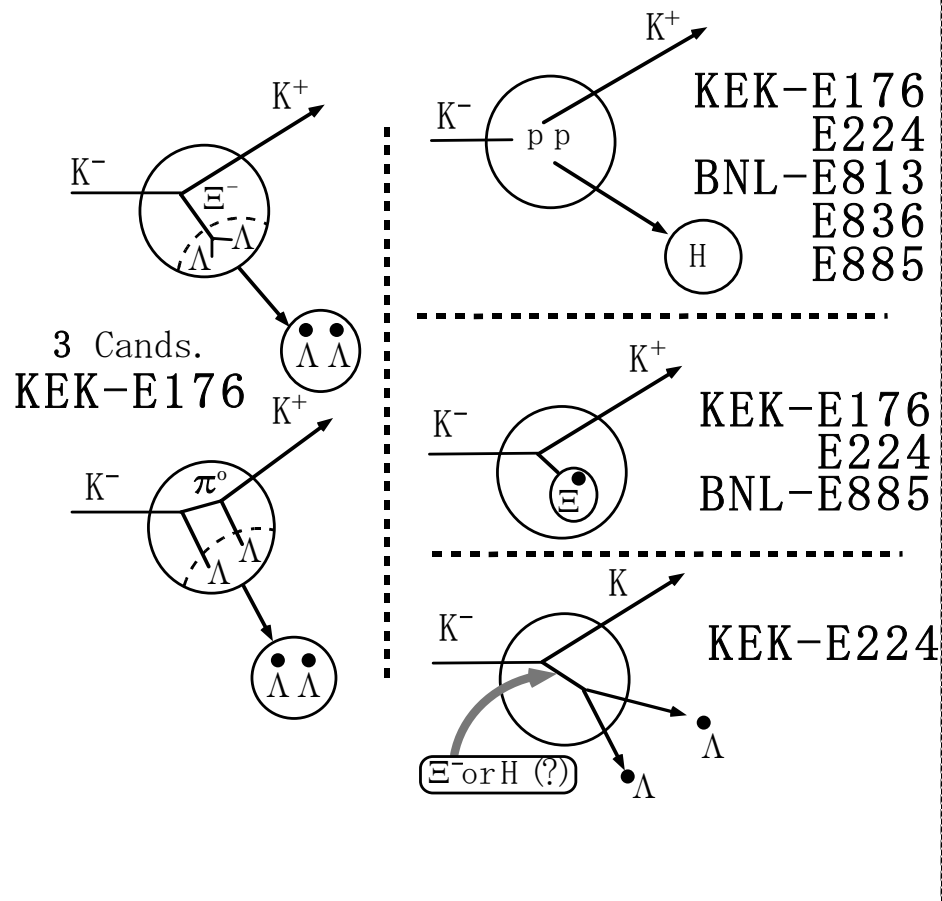


50GeV加速トンネル内電磁石

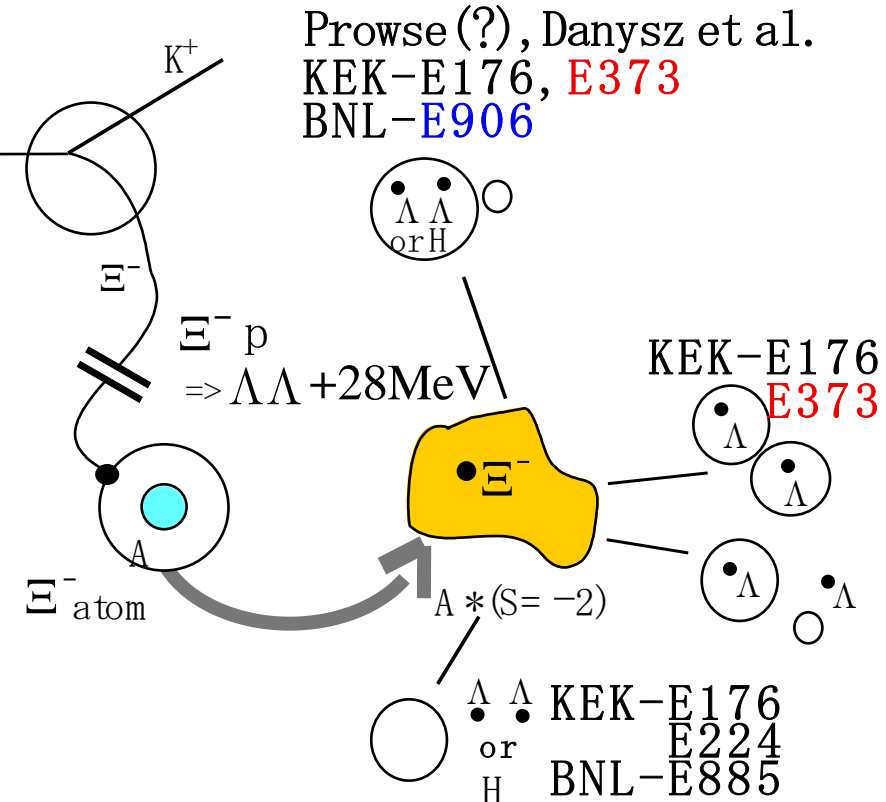


# How to produce S=-2 Systems

- Direct process



- via  $\Xi^-$  atom



# Observation of a Lambpha

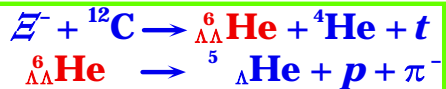
Success of Emulsion detector with micro-meter accuracy

n  
p  
 $\Lambda$

## NAGARA event

$\Lambda\Lambda$ He double-hypernucleus  
Unique interpretation!!

2001



H.Takahashi et al.,  
P. R. L. 87, 212502(2001)

### Lambpha

$$m({}_{\Lambda\Lambda}^6\text{He}) = 5951.82 \pm 0.54 \text{ MeV}$$

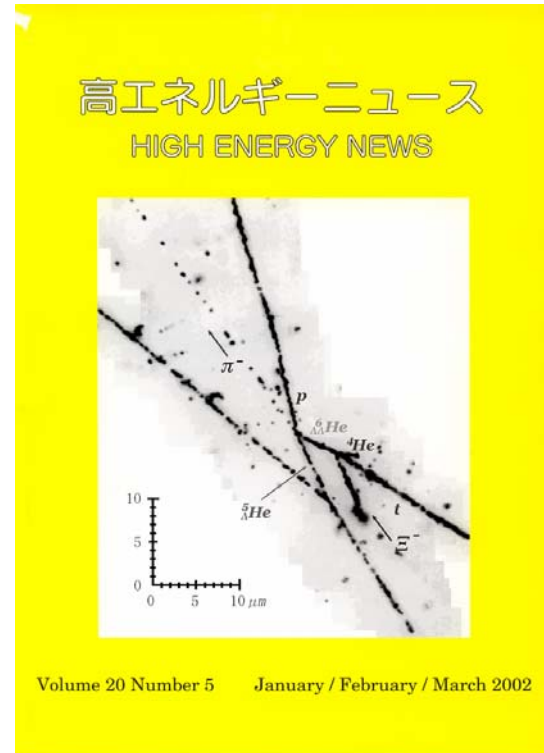
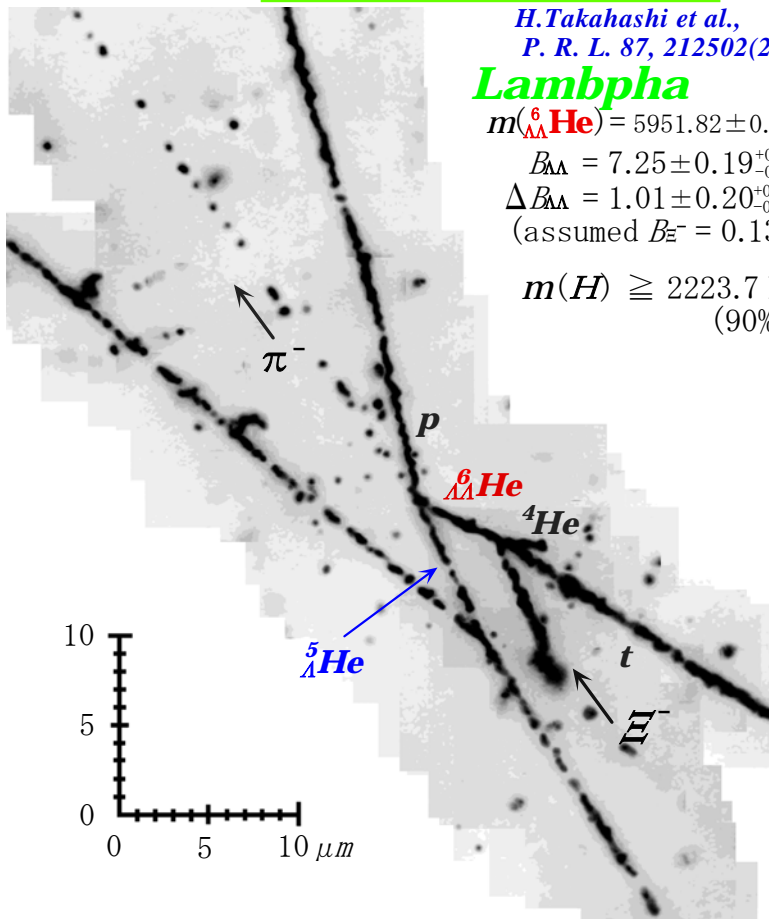
$$B_{\Lambda\Lambda} = 7.25 \pm 0.19 {}^{+0.18}_{-0.11} \text{ MeV}$$

$$\Delta B_{\Lambda\Lambda} = 1.01 \pm 0.20 {}^{+0.18}_{-0.11} \text{ MeV}$$

(assumed  $B_{\Xi^-} = 0.13$  MeV)

$$m(H) \geq 2223.7 \text{ MeV}/c^2$$

(90% C.L.)



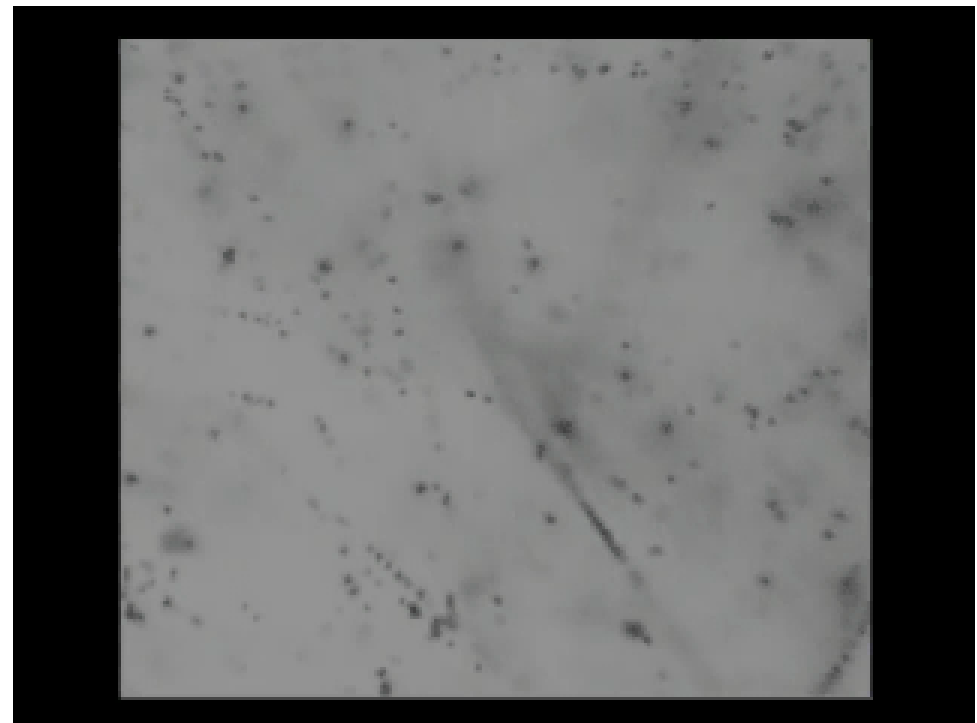
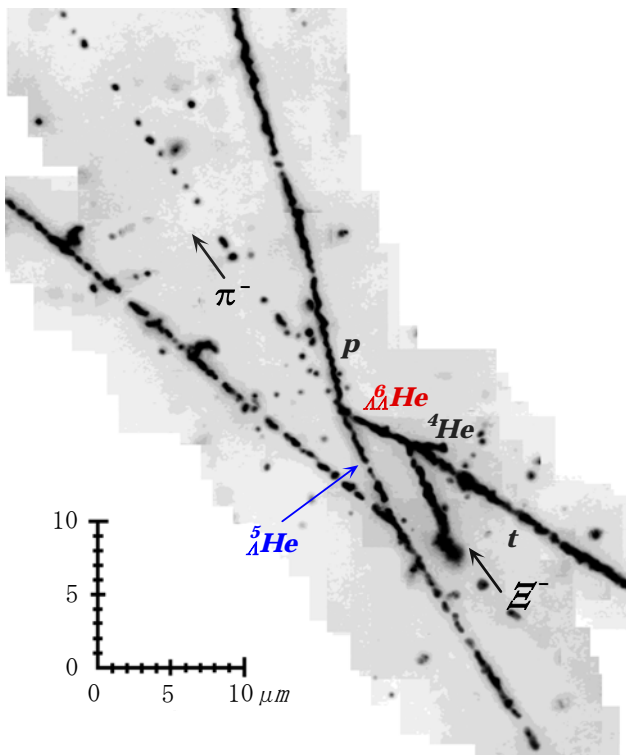
“the most significant result of the past 5 years in hypernuclear physics.”

Final Report of the 2004 KEK PS

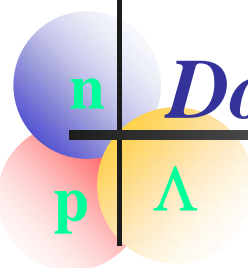
External Review Committee (August 30, 2004), p5.

# NAGARA event

n  
p  $\Lambda$





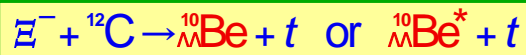


# Double- $\Lambda$ hypernuclei from E373(KEK-PS)

2001

## Demachi-yanagi event

\*two body case at point A



$$\Delta B_{\Lambda\Lambda} : -1.14 \pm 0.19 \quad \text{or} \quad +1.86 \pm 0.19 \text{ MeV}$$

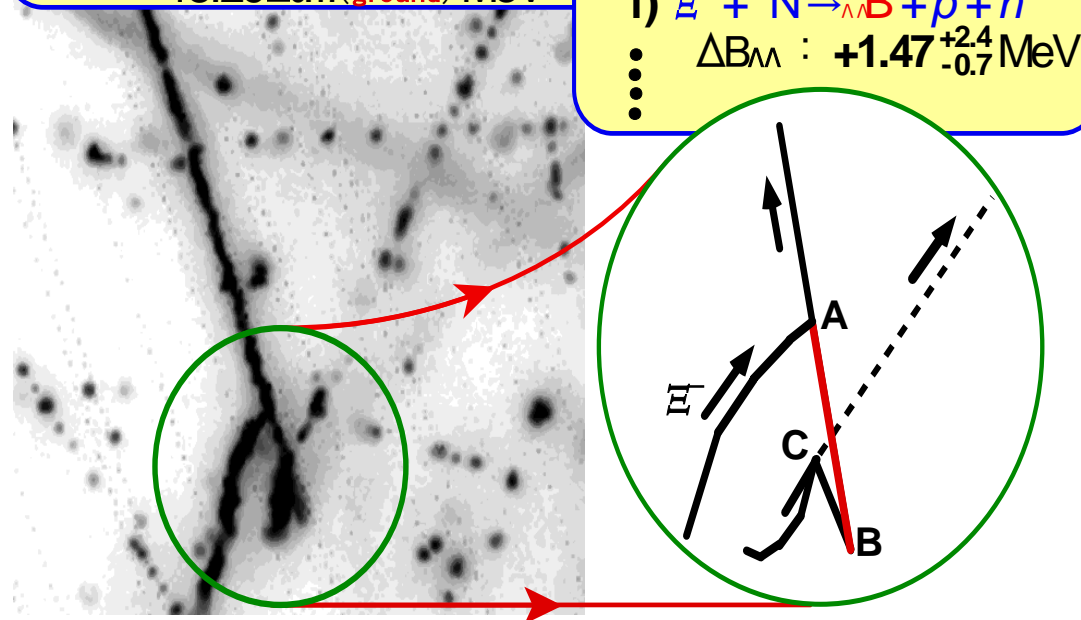
$$B_{\Lambda\Lambda} : 12.29 \pm 0.17 \text{ (excited) MeV}$$

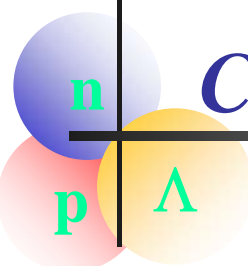
$$15.29 \pm 0.17 \text{ (ground) MeV}$$

\*three body case at point A



$$\dots \quad \Delta B_{\Lambda\Lambda} : +1.47^{+2.4}_{-0.7} \text{ MeV}$$



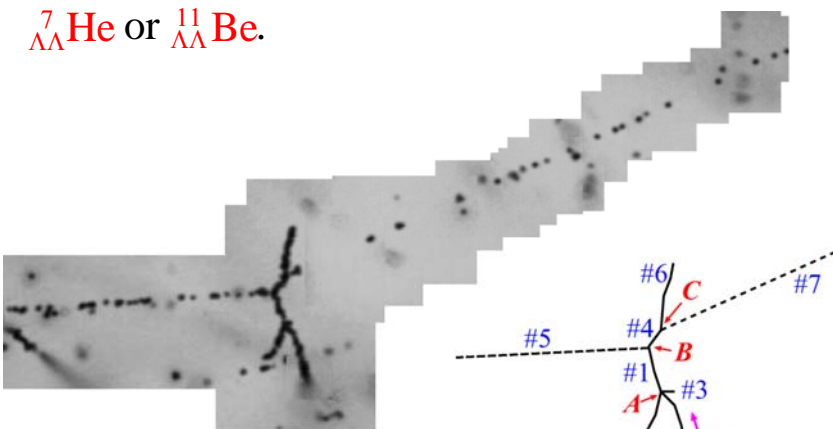


# Candidate events of double-hypernucleus from E373

2002

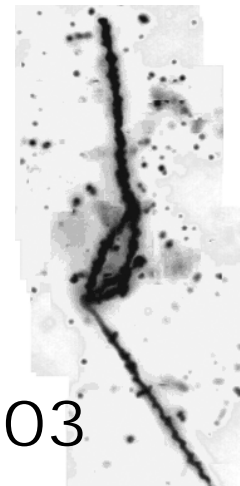
## 3<sup>rd</sup> double-Λ hypernucleus

Nuclear species of the double-Λ can be  $^{6}_{\Lambda\Lambda}\text{He}$ ,  $^{7}_{\Lambda\Lambda}\text{He}$  or  $^{11}_{\Lambda\Lambda}\text{Be}$ .

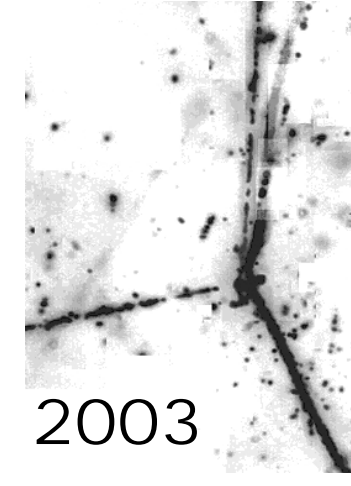


**Analysis in progress**

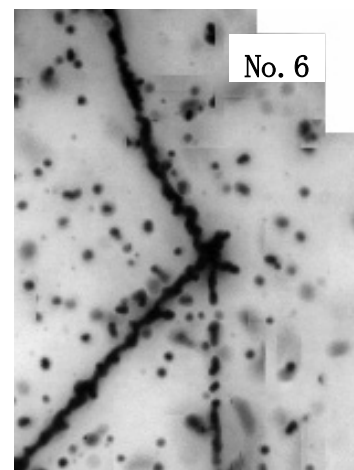
2003



2003



2004

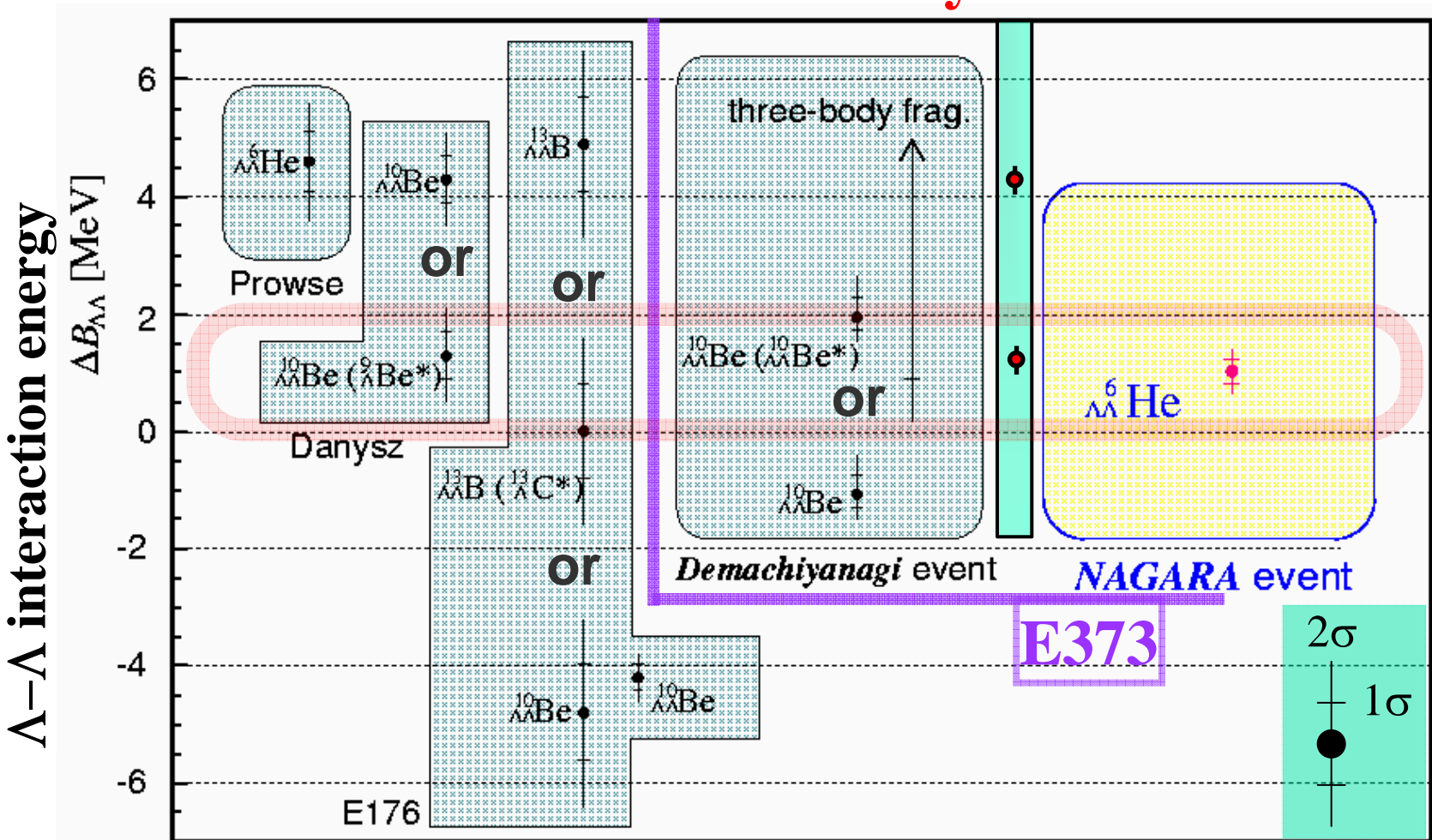


	Reaction	$B_{\Lambda\Lambda}$ (MeV)	$\Delta B_{\Lambda\Lambda}$ (MeV)
(I)	$\Xi^- + ^{16}\text{O} \rightarrow ^{6}_{\Lambda\Lambda}\text{He} + p + ^{10}\text{Be}$ track : (#1) (#2) (#3)	$7.45 \pm 0.21$	$+1.21 \pm 0.21$
(II)	$\Xi^- + ^{12}\text{C} \rightarrow ^{7}_{\Lambda\Lambda}\text{He} + ^4\text{He} + p + n$ track : (#1) (#2) (#3)	$12.65 \pm 1.32$	$+4.29 \pm 1.32$
(III)	$\Xi^- + ^{16}\text{O} \rightarrow ^{11}_{\Lambda\Lambda}\text{Be} + ^4\text{He} + p + n$ track : (#1) (#2) (#3)	$25.48 \pm 4.50$	$+7.26 \pm 4.50$

# *Comparison with past results*

Our knowledge for  $\Lambda\Lambda$  int. until now.

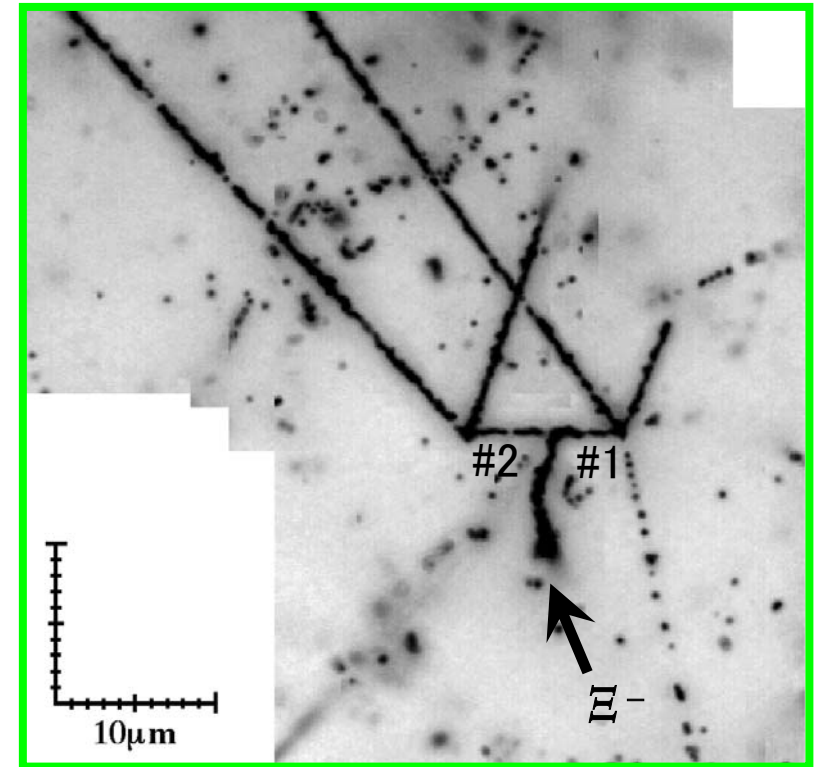
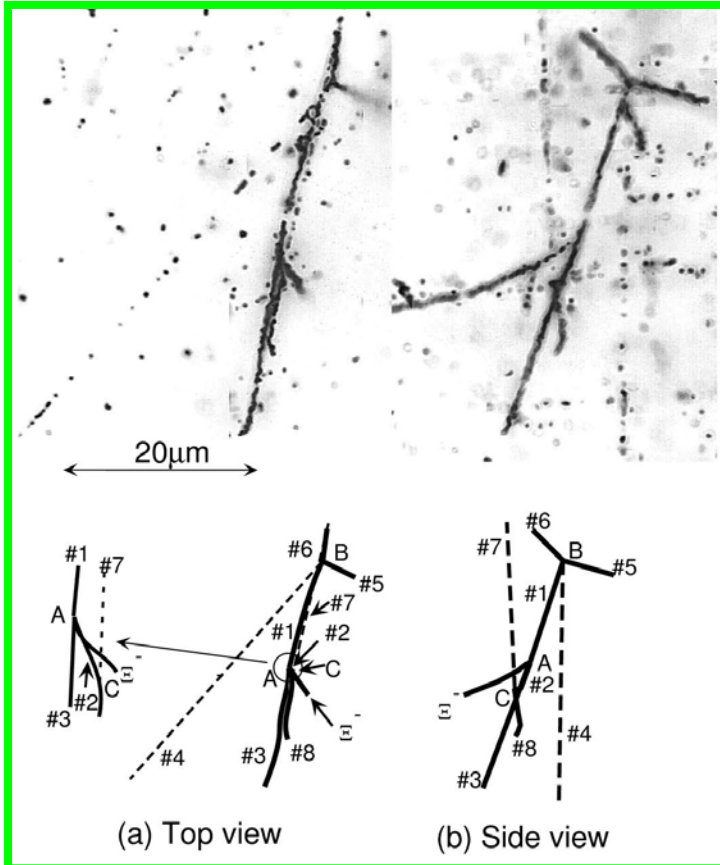
$\Lambda\Lambda$  interaction is weakly attractive.



# Twin single- $\Lambda$ hypernucleus

n  
p  
 $\Lambda$

Xi- potential in nucleus can be obtained



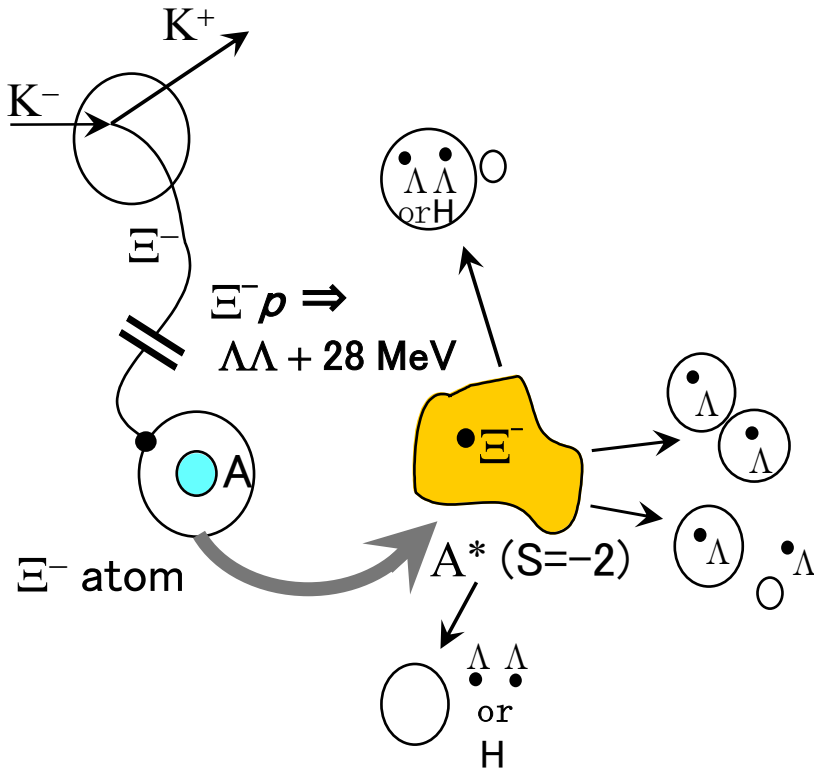
# Status of KEK-E373 experiment

n  
p  
Λ

## [KEK-E176]

$\Xi^-$  stop : 77.6 events,  
single- $\Lambda$  hypernuclei : 7 events

- ↔ • Double - $\Lambda$  hypernucleus (cand.) : 7
- (• Twin single- $\Lambda$  hypernucleus : 2)

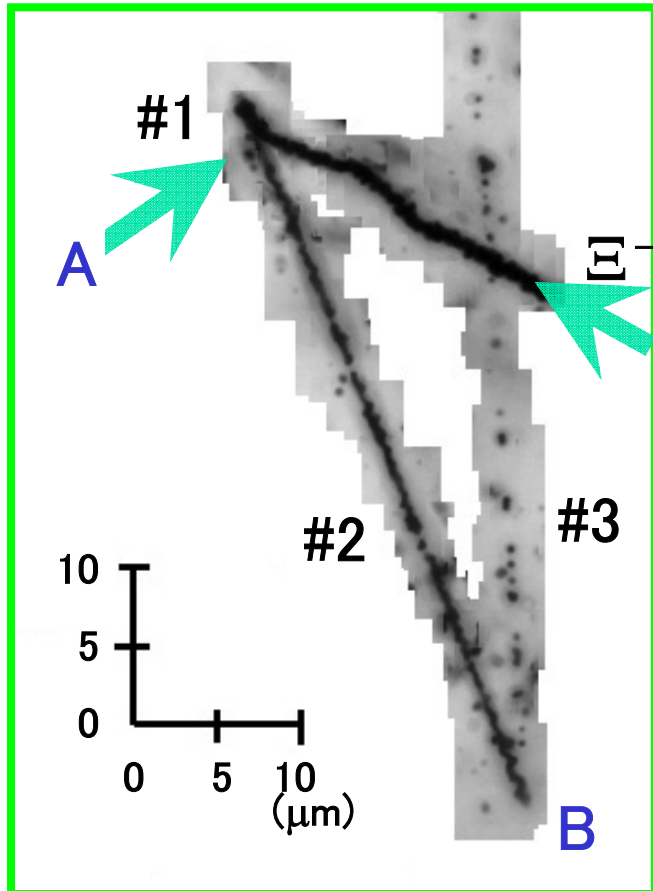


Exp.	Single- $\Lambda$	$\Xi$ -stop
E176	7	77.6
E373	46 (83% data)	??

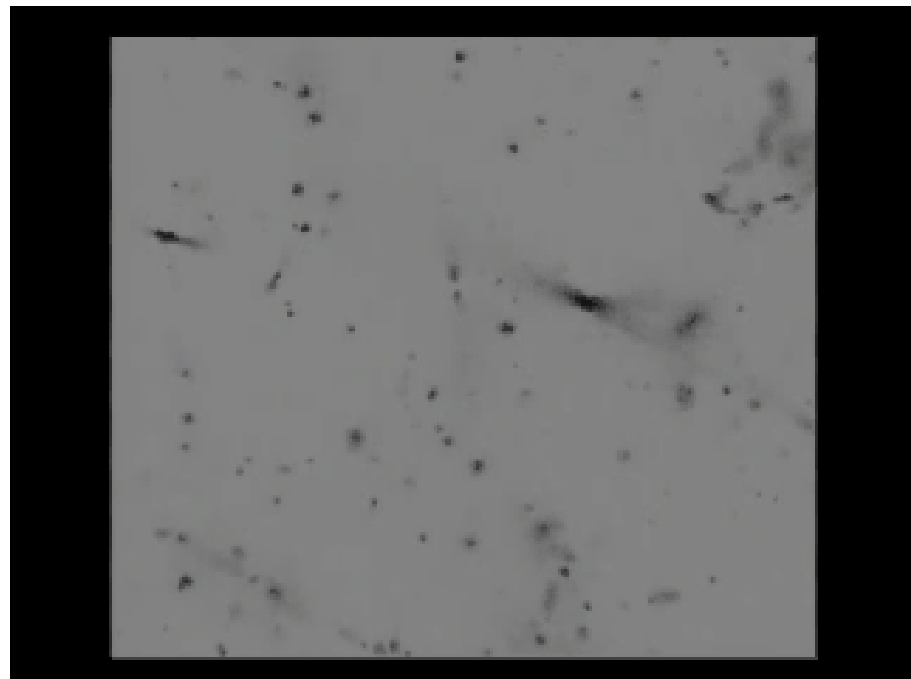
$\Xi^-$  capture at rest  
: 570 ( $\pm 100$ ) events  
[preliminary]  
Designed  $\sim 10^3$  events  
the difference comes from  
the Automated Scanning Method.  
==> Rescan new candidate tracks  
with the new system,  
within two years.

# A New-type event

n  
p  $\Lambda$



#1	5.3 μm	
#2	56.6 μm	Decay angle #2 → #3: $\theta = 153.48 \pm 0.43^\circ$
#3	15539 μm	Escaping from emulsion





# Discussion

- The first observation of an event

$$\Xi^- + (p) \rightarrow (\text{X}) \rightarrow \Sigma^- + p$$

$\Xi^-$  capture at rest : 570 ( $\pm 100$ ) events

$\rightarrow$  several tens' S=-2 nuclei (estimated from KEK-E176)

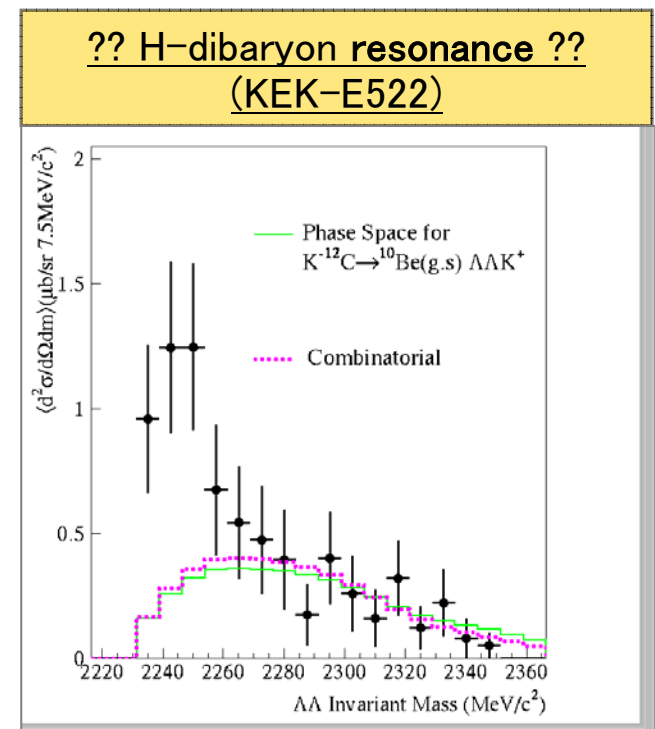
## Theoretical approach

# Decay rate( $\Lambda\Lambda \rightarrow \Sigma^-\rho$ ) for  ${}^6_{\Lambda\Lambda}\text{He}$  [unit  $\Gamma_\Lambda$ ].  
 (NOT H-dibaryon)  
 $\sim 10^{-3}$

### References:

- 1) K. Itonaga, T. Ueda and T. Motoba; NP. A691 (2001) 197
- 2) A. Parrreno, A. Ramos and C. Bennhold; PRC65 (2002) 015205
- 3) K. Sasaki, T. Inoue and M. Oka; NP. A726 (2003) 349
- [4] H. Nemura, S. Shimura, Y. Akaishi and K. S. Myint PRL94 (2005) 202502]

# Decay rate(H  $\rightarrow \Sigma^-\rho$ ) : several  $\times 10\%$  (?)



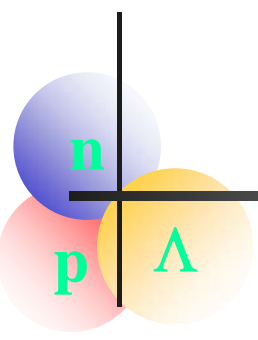
Invariant mass of  $\Lambda\Lambda$  produced by (K-, K+) reaction in Scifi target.  
 A peak is seen at the threshold.

# E07 Collaborators List

n  
p  
Λ

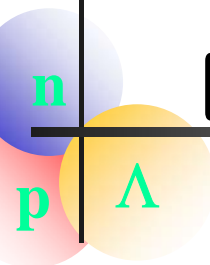
- Kyoto: E.Hayata, M.Hayata, M.Hirose, K.Imai, S.Kamigaito, N.Saito, K.Tanida, M.Togawa, T.Tsunemi, C.J.Yoon
- Gifu: M.Kawasaki, H.Nakamura, K.Nakazawa, K.T.Tint, T.Watanabe K.Hosomi, T.Koike, Y.Ma, K.Shirotori, H.Tamura, M.Ukai
- Tohoku: R.Hasan
- AMU: R.E.Chrien
- BNL: Y.Y.Fu, C.P.Li, Z.M.Li, J.Zhou, S.H.Zhou, L.H.Zhu
- CIAE: J.Y.Kim
- Chonnam: M.Y.Pac
- Dongshin: T.Yoshida
- Fukui: K.S.Chung, S.H.Kim, J.S.Song, C.S.Yoon
- Gyeongsang N.: M.Ieiri, H.Noumi, M.Sekimoto, H.Takahashi
- KEK: K.Hoshino, T.Kawai, B.D.Park, T.Sato, T.Watabe
- Nagoya: N.Yasuda
- NIRS: K.Yamamoto
- OsakaCity: J.K.Ahn, S.Y.Ryu
- Pusan: D.H.Zhang
- Shanxi N.: C.Fukushima, M.Kimura, S.Ogawa, H.Shibuya
- Toho: D.H.Davis, D.Tovee
- UCL: Ed.Hungerfold
- U.Houston: B.Bassalleck
- U.New-Mexico:

20 Inst.  
58 phys.



## collaboration 20 Inst.

- **Emulsion** (making·development)  
Gifu·Nagoya ·NIRS·Toho·Aligarh Muslim·  
Chonnam·Dongshin·Gyeongsang·Sanxi·  
(KEK)
- **Chamber & Counter**  
Kyoto·Tohoku·Fukui·Osaka-City·KEK·Pusan·  
CIAE·Huston·New-Mexico·BNL
- **Hyperball-J**  
Tohoku·Kyoto·CIAE·KEK
- + U.C.L



# Beam time & Emulsion treatment

## # (K-, K+) trigger

$3 \times 10^5$  K-/spill (2sec.)

with  $K^-/\pi^- > 6$  at **K1.8 beam-line (~20% of  $9\mu A$ )**

**150 hours** for detector tuning

and for beam exposure ... **600 hours [KURAMA]**

... **1200 hours [SKS]**

## # Emulsion plates' making

**KURAMA 4 months // SKS 8 months**

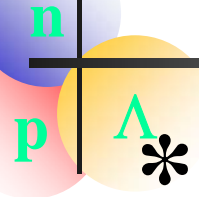
## # Emulsion plates' development (depends on *KAKENHI*)

**KURAMA 6 months // SKS one year**

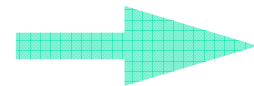
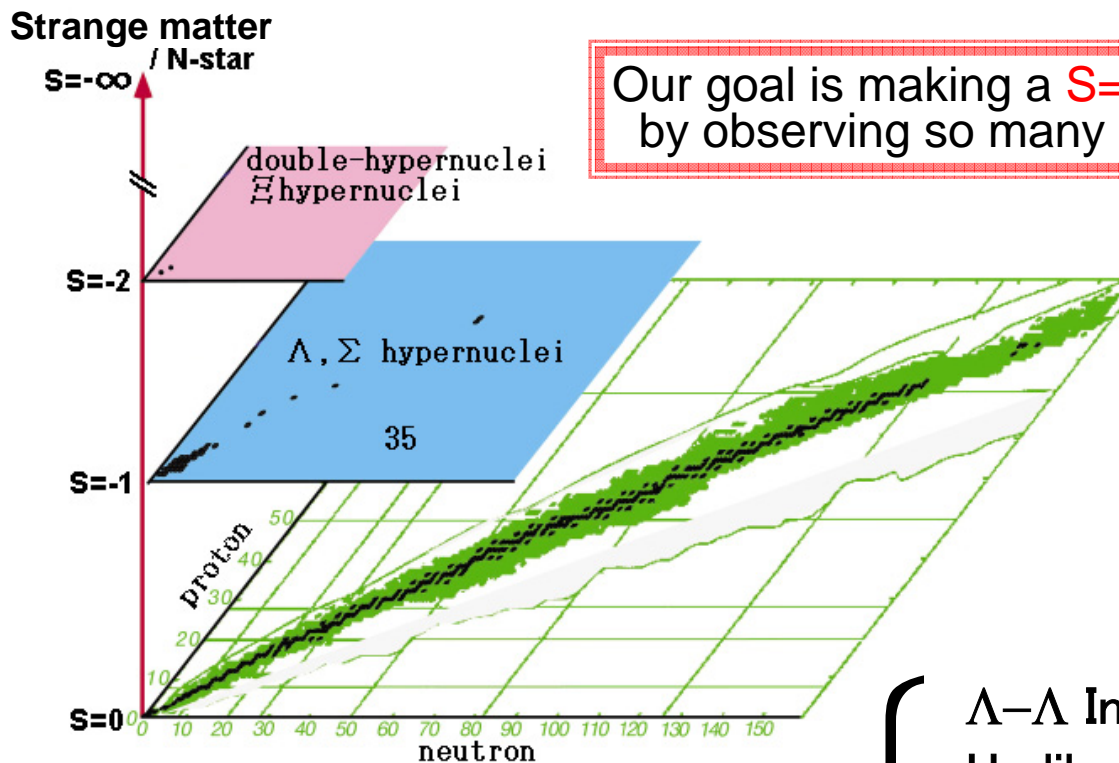
**(one year) (two years) <<== at ICRR**

**==> [SKS] It is suitable that beam time be separated  
in each year?**

# Motivation of the proposed experiment



- \* detection of  **$10^2$**  or more candidate events with  $S = -2$ ,  
→ identification of them in **at least 10** or more nuclear species.



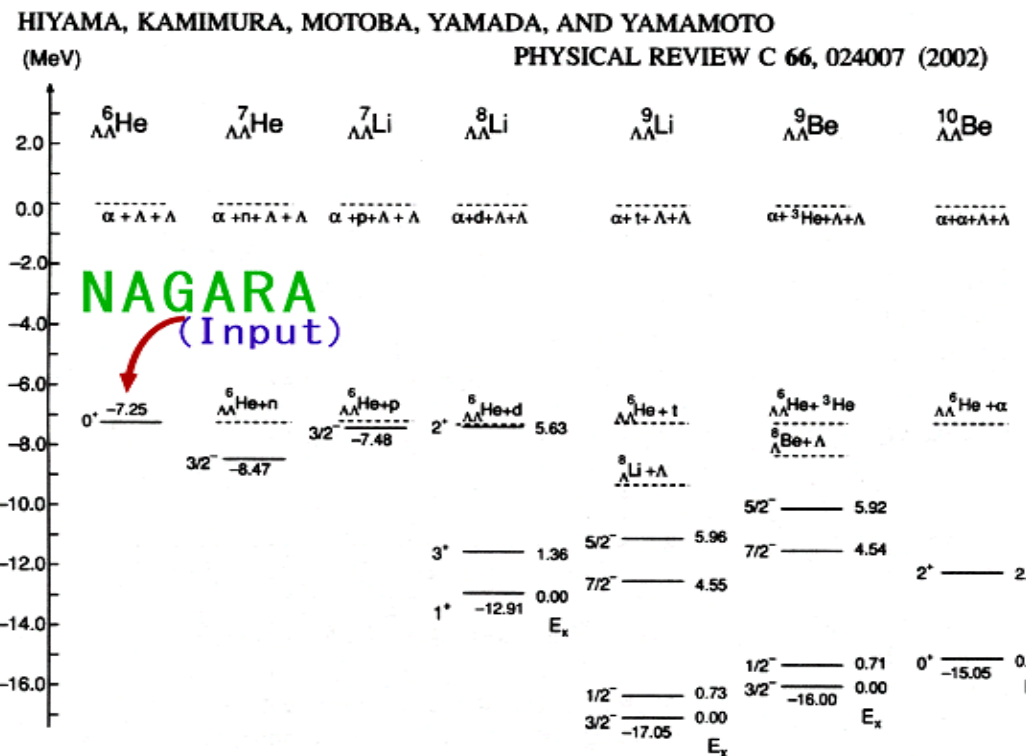
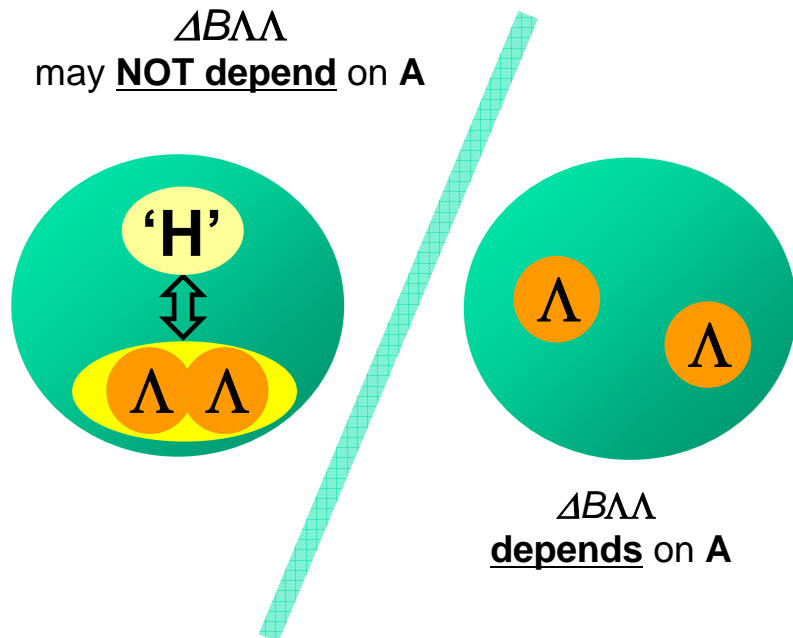
} **Λ–Λ Interaction,**  
**H-dibaryon,**  
**Ξ–Nucleus Interaction,**  
**Inside Neutron Stars (Quark–star?)**

# $\Delta B_{\Lambda\Lambda}$ & nuclear medium effect

## S=-2 nuclear system

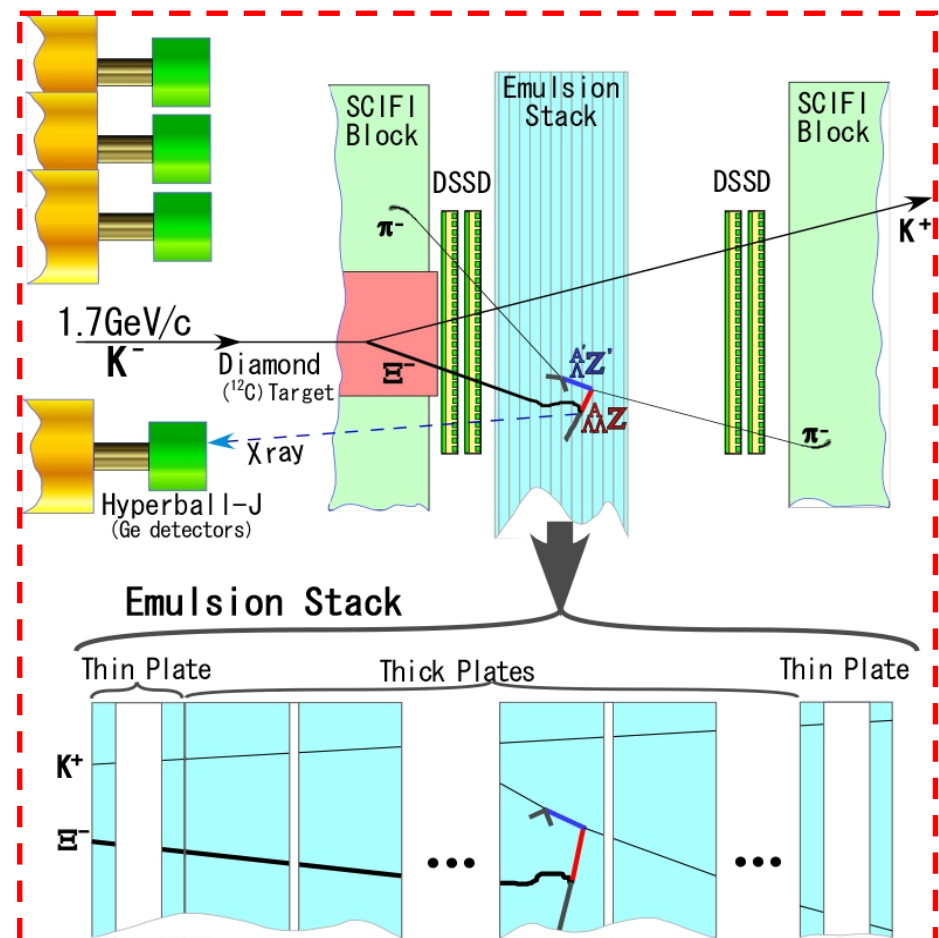
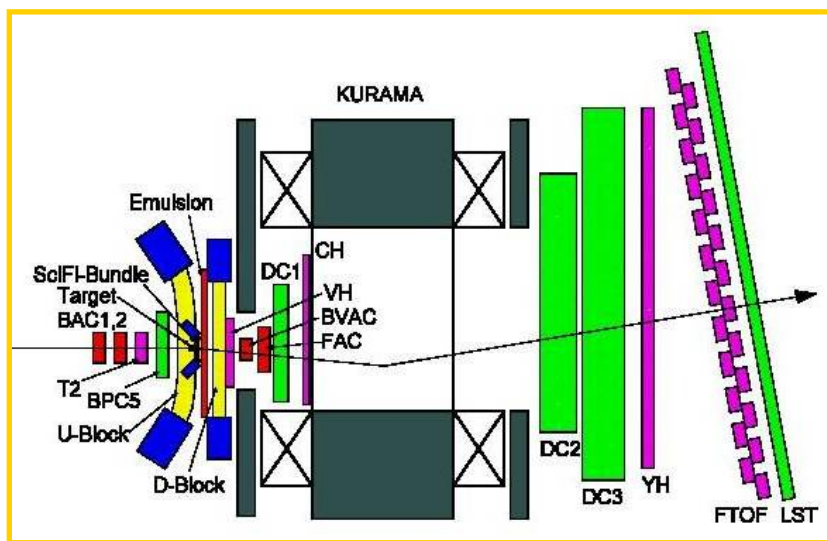
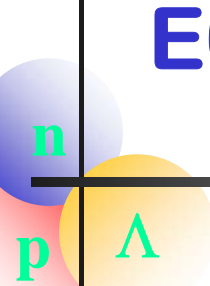
### Theoretical prediction

$\Delta B_{\Lambda\Lambda}$   
may NOT depend on A



To know  $\Lambda\Lambda$  int. independent on the nuclear medium effect,  
we have to measure **A-dependence** of  $\Delta B_{\Lambda\Lambda}$ .

# *Setup around the Target (proposal)*



# (K-, K+) trigger ==>  $10^4 \Sigma$ -stop

$3 \times 10^5$  K-/spill (2sec.) with  $K^-/\pi^- > 6$  at K1.8 beam-line ( $\sim 20\%$  of 9 $\mu$ A)  
 beam exposure  $\cdots$  600 hours [KURAMA] with 190L emulsion  
 + 150 hours for detector tuning

# beam exposure mid 2009(?)

開発1.

# Scintillating-fiber blocks (KEK-E373)

n

p

$\Lambda$



Readout with Image Intensifier Tube and CCD

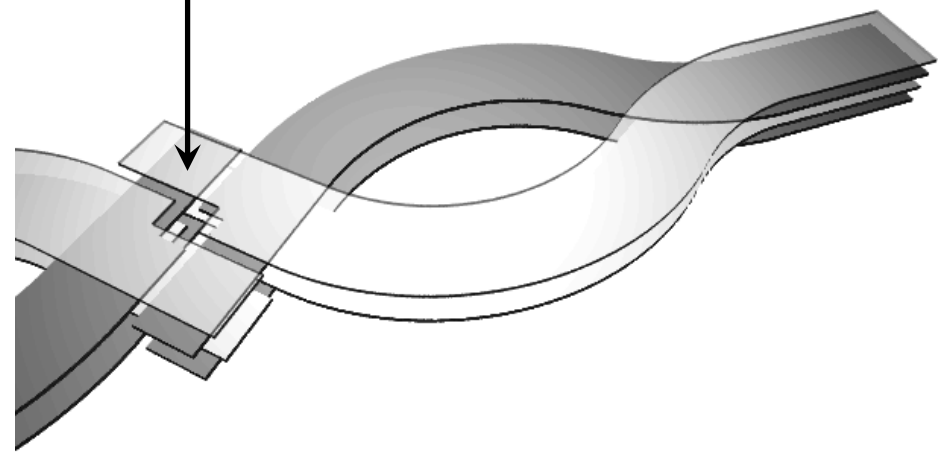
Cross section of a fiber : **0.3 x 0.3 mm<sup>2</sup>**

Cross section of a block : **10 x 10 x 10 cm<sup>3</sup>**

There is almost NOT dead area.



Diamond Target (**2 x 2 x 3 cm<sup>3</sup>**)

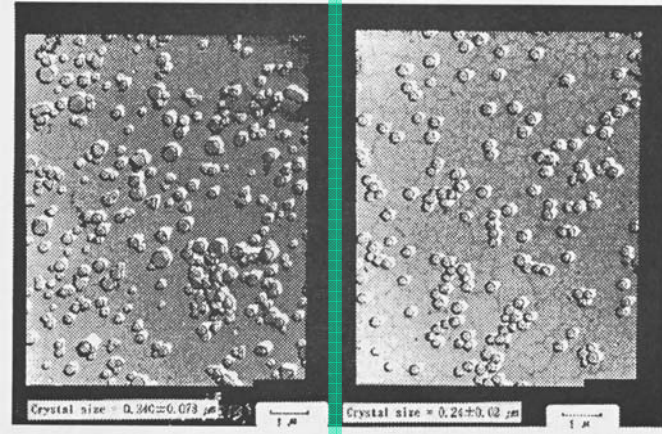


## 開発2.

n  
p  
Λ

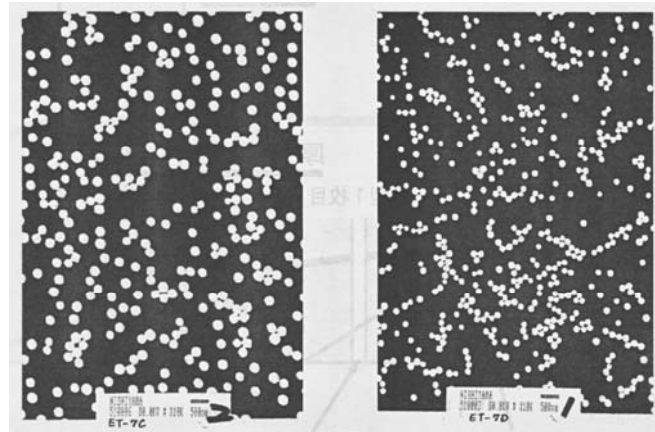
# Nuclear Emulsion (itself and treatment)

ET-7B (left) and ET-7C (right)



E373

$$0.24 \pm 0.078 \mu\text{m} \Rightarrow 0.26 \pm 0.023 \mu\text{m} \Rightarrow 0.176 \pm 0.015 \mu\text{m}$$



ET-7C (left) and ET-7D (right)

n  
p  
A

# Development of Emulsion Techniques

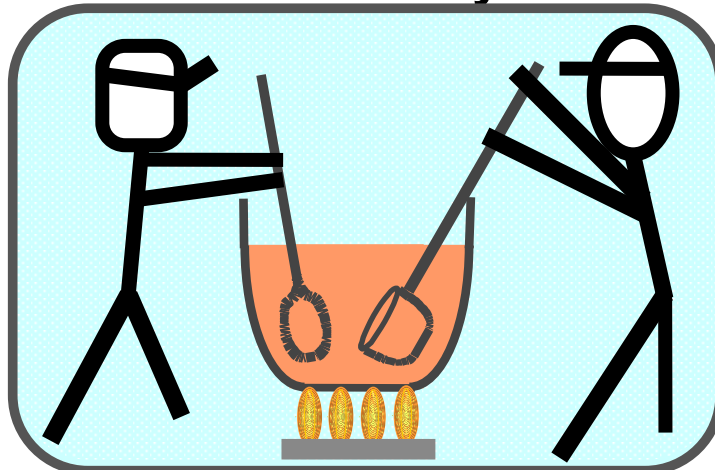
## Production method of emulsion

Production method of Emulsion gel will be changed.

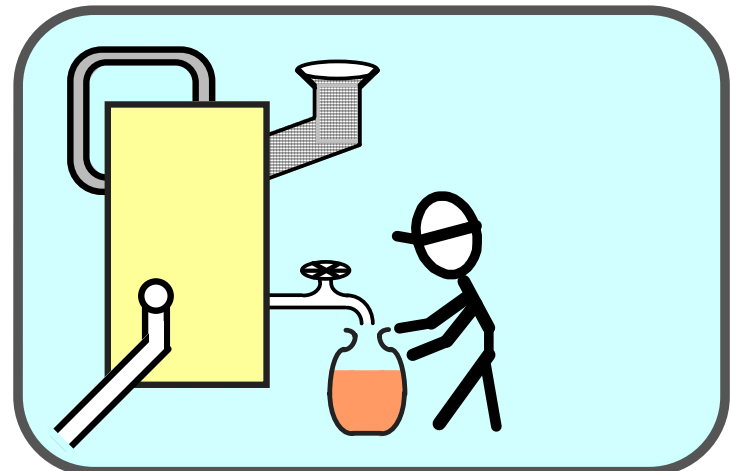
For E07, amount of emulsion gel => **2.6 tons**

Fuji-film needs **one year** or more by conventional way.

Conventional way  
by hand



Using the production lines  
for commercial films



Stopping power and physical characteristic has been tested, and the result showed no problem.

Emulsion cost will be saved **50%**

R&D shall be continued !!

開発3.

n  
p

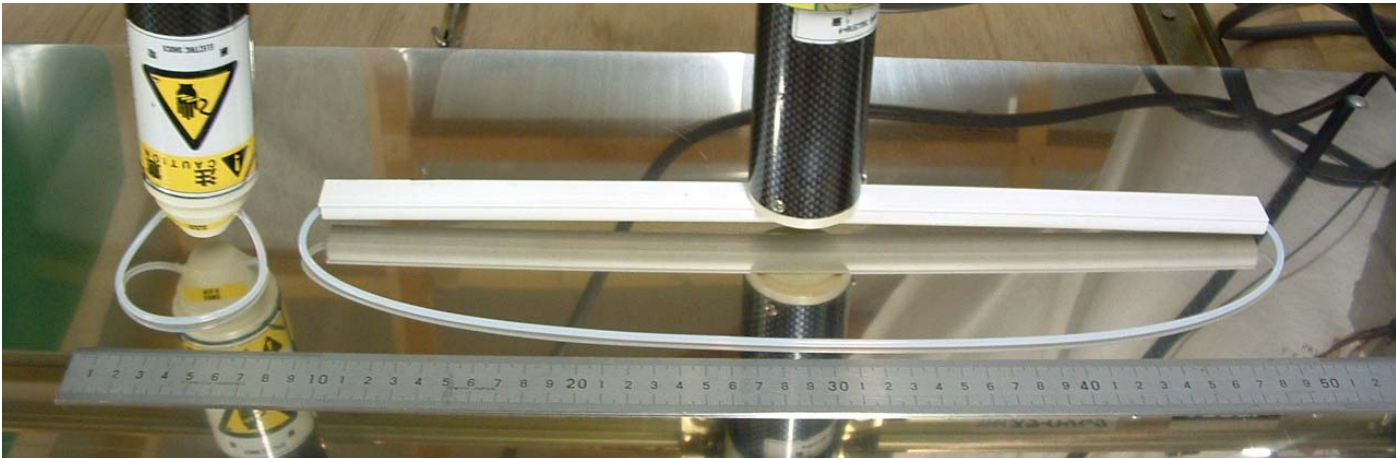
# Surface pre-processing of PS-film

PS-film ( $t = 200$  and  $40 \mu\text{m}$ ) : support of the plate

size of film :  $70 \times 70\text{cm}^2$  [E373]  $\Rightarrow 90 \times 90$  [J-PARC]

To get well wet surface of PS-film,  
**Corona Discharge** was applied.

E373



開発4.

# Pouring of the Gel

n

p

**Poured area :  $51 \times 51\text{cm}^2$  [E373] =>  $72 \times 72\text{ cm}^2$  [J-PARC]**

**Thickness of dried emulsion : 0.1mm and 0.5mm[E373] or 0.45mm [J-PARC]**

**Puring room of Nuclear Emulsion**

Humidifier



R.H.  $75 \pm 5\%$



Emulsion gel, like pudding, is melted in the hot bath ( $40 \pm 2^\circ\text{C}$ ) and poured on thin PS film on the stone bed.

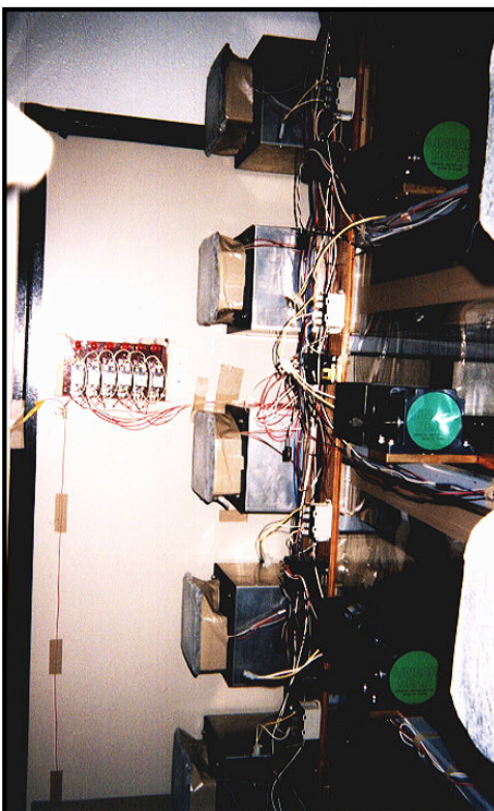
# 開発5. Drying Cabinet of Poured Gel

n

Drying cabinet  
(side view)



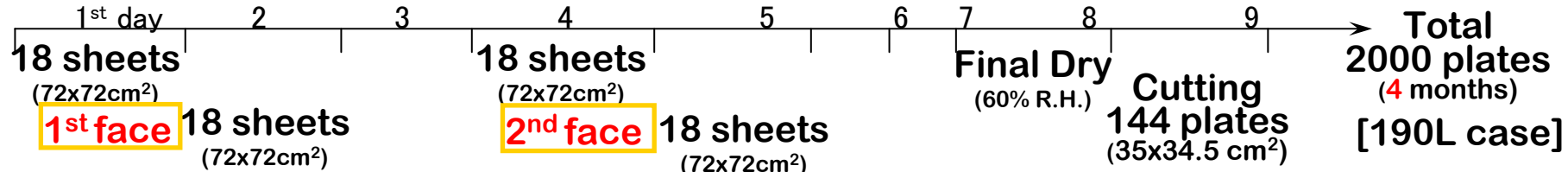
(front view)



door (1.8m)

The room is controlled on R.H.  $75 \pm 5\%$ ,  $30^{\circ}\text{C}$  -  $33^{\circ}\text{C}$

## schedule



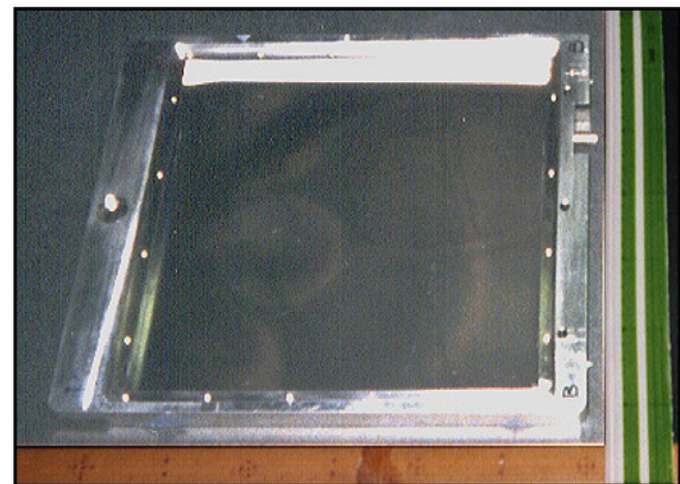
# Vacuum Emulsion Cassette

Emulsion Plate

$72 \times 72 \text{ cm}^2$

= cut =>  $35 \times 34.5 \text{ cm}^2$

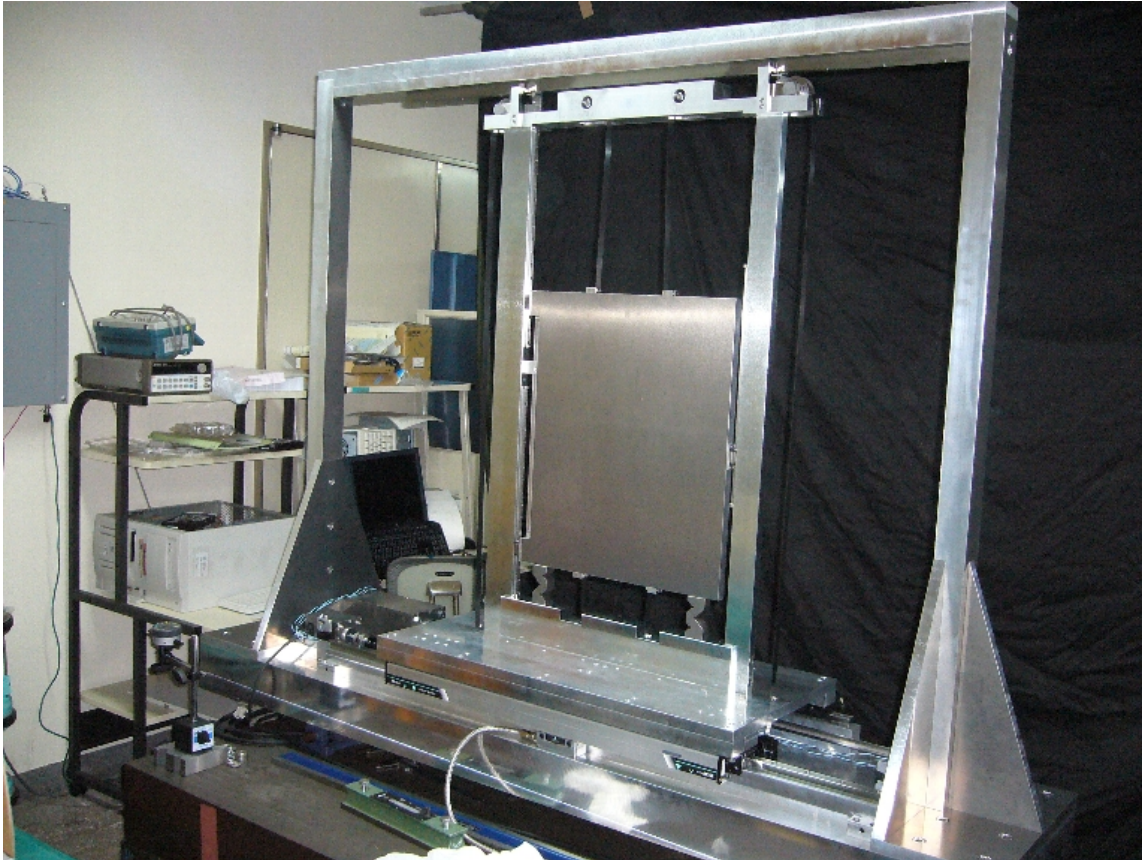
Vacuum emulsion cassette to expose beams



# 開発6.

n  
p  $\Lambda$

## Emulsion mover

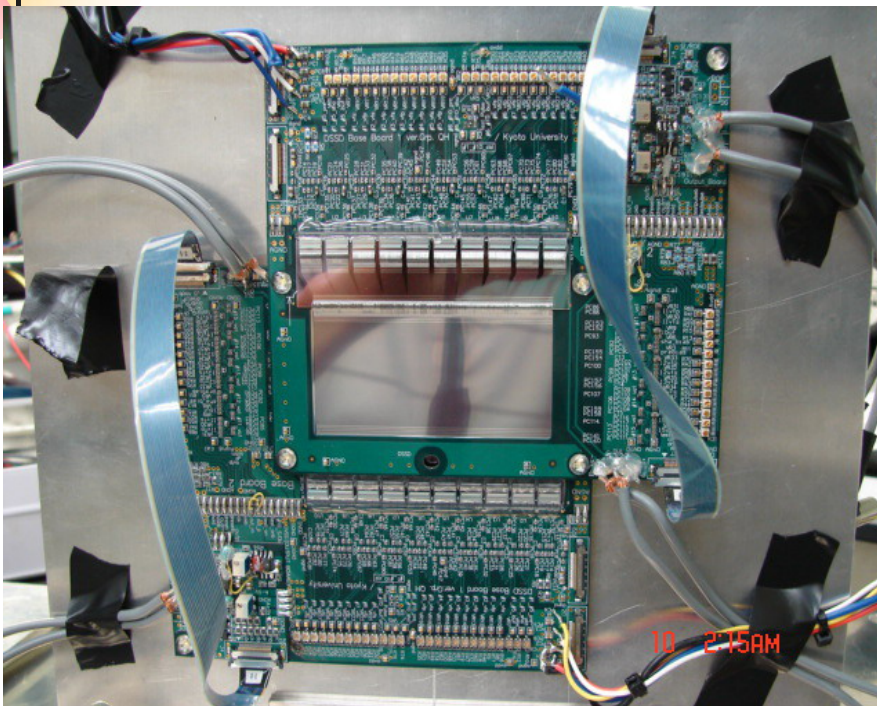


# position accuracy  
 $<10\mu\text{m}$   
# steal belt  
# max. speed  
 $\sim 5\text{mm/sec}$

# 開発7.

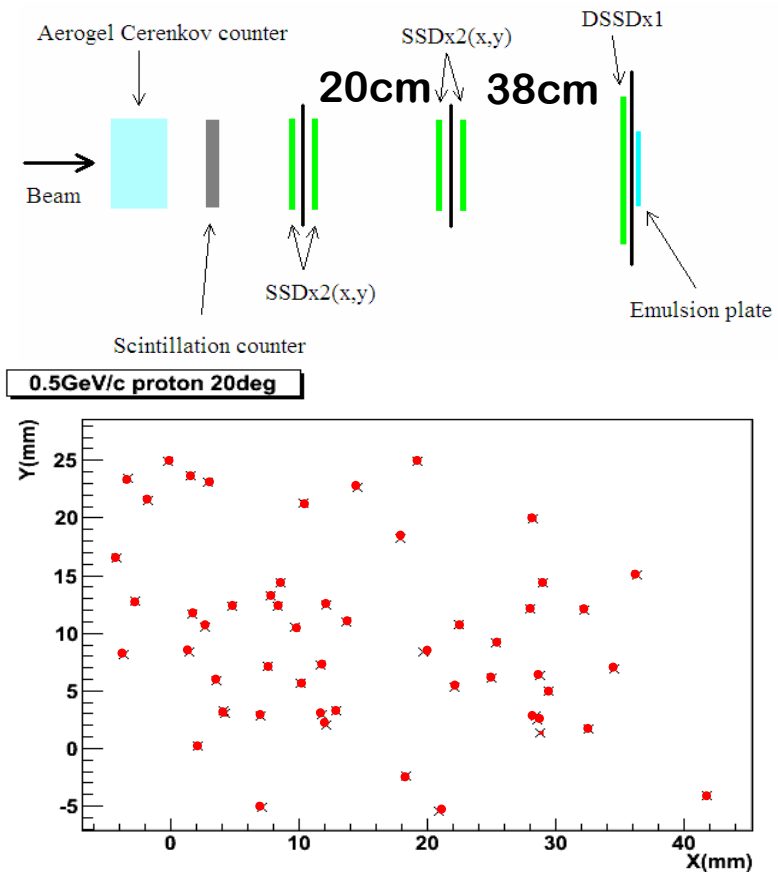
## Double-sided Silicon Strip Detector (DSSD)

n  
p  
 $\Lambda$



Silicon: 32 x 64mm area, 300 $\mu$ m thick  
 50mm strip pitch -> 16 $\mu$ m resolution  
 2DSSDs in 4 mm gap

**Test experiment of Hybrid-Emulsion**  
 2006.3 KEK-PS T594  
 ==> Next at RCNP (Dec.11~13)



$\times$ : predicted position

$\bullet$ : found position in the emulsion

### Preliminary result

E373	T594
$\Delta$ position ( $\mu$ m)	(200,110) => (60,30)
$\Delta$ angle (mrad)	( 44, 25) => (34,23)

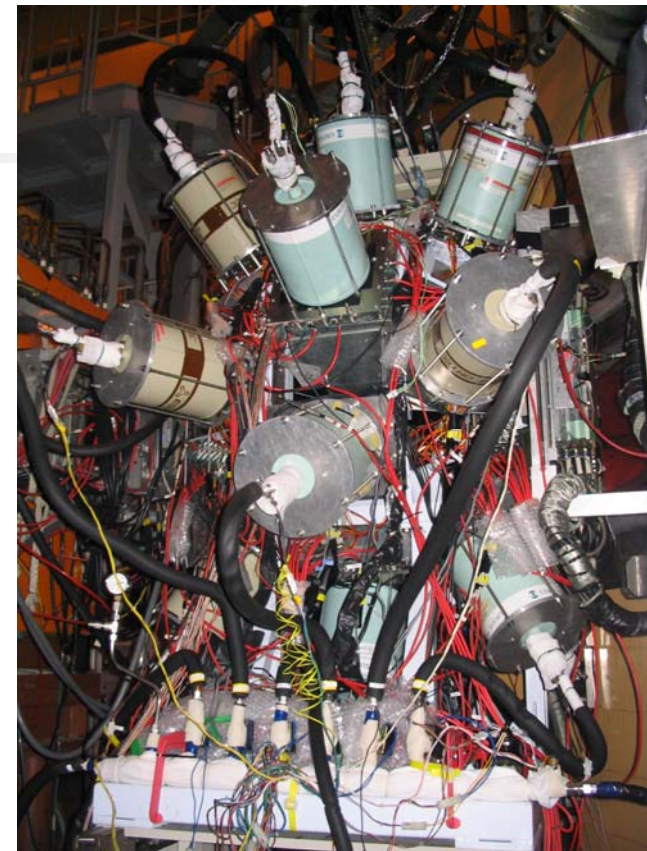
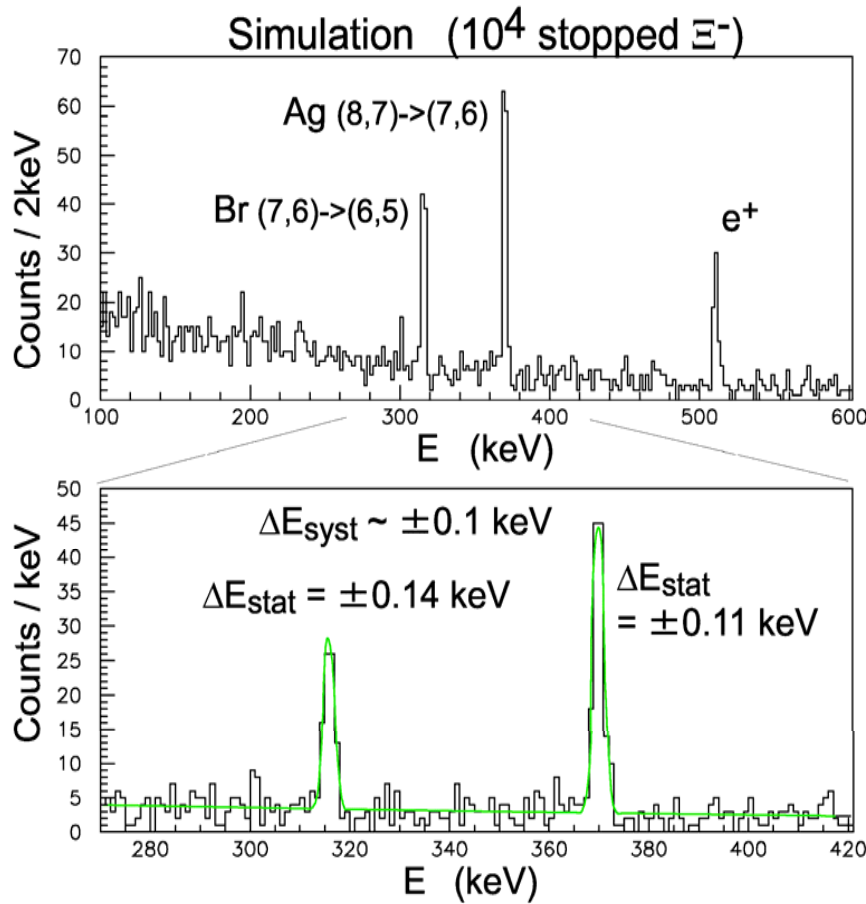
# 開発8.

n  
p  
Λ

## Upgraded Hyperball-J

Peak efficiency:  $\times 2$

$\Xi^-$  atomic X-ray

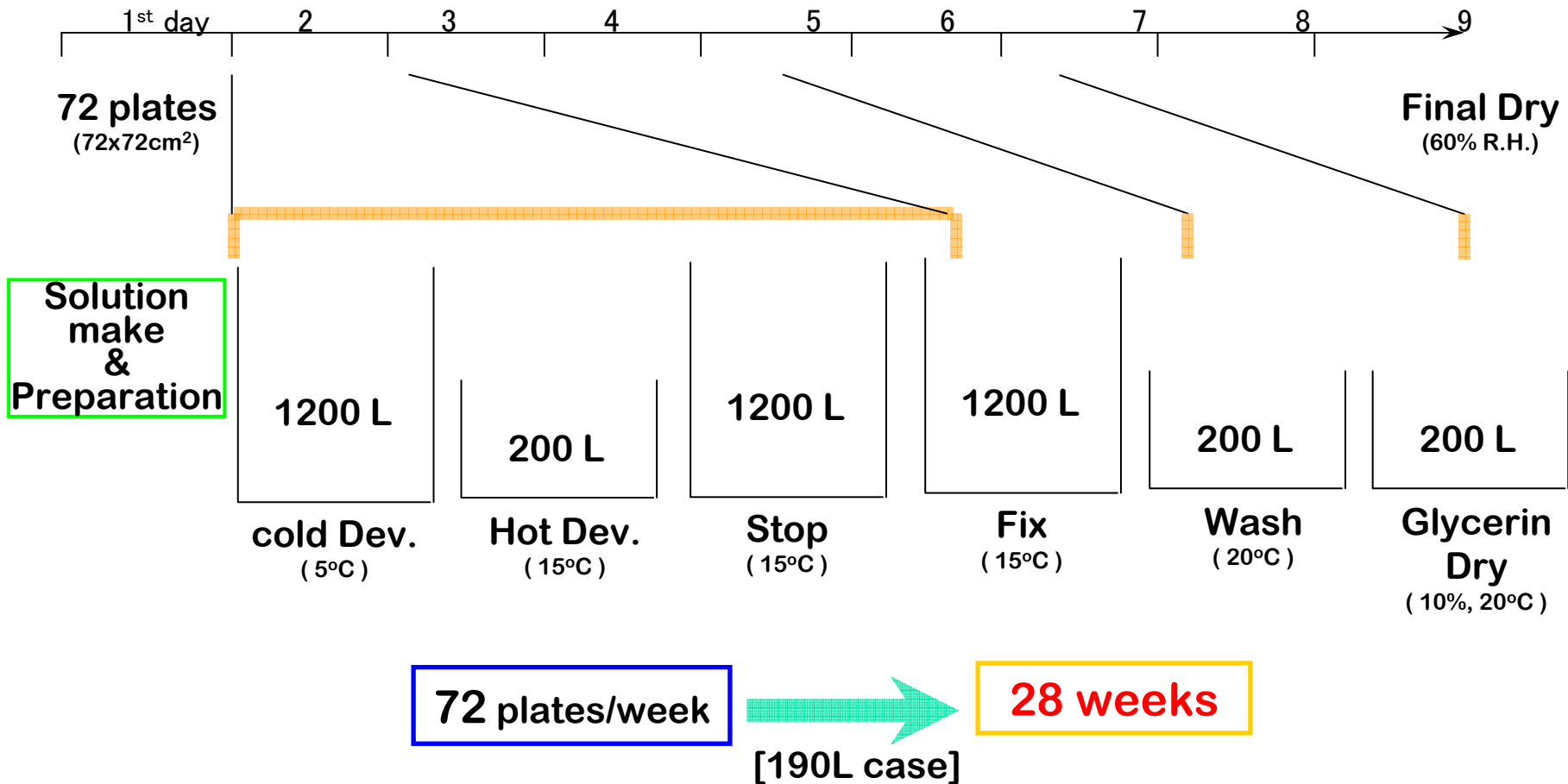


## 開発9.

*Development of exposed Emulsion plates*

n  
p  
Λ

## schedule of development



開発10.

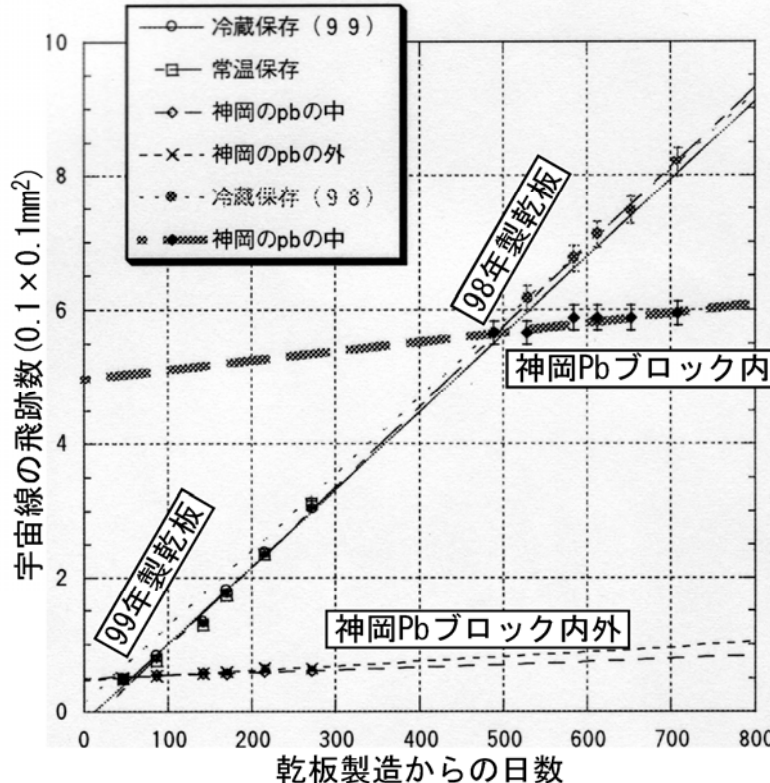
# 長期保存乾板の性能

n  
p  
Λ

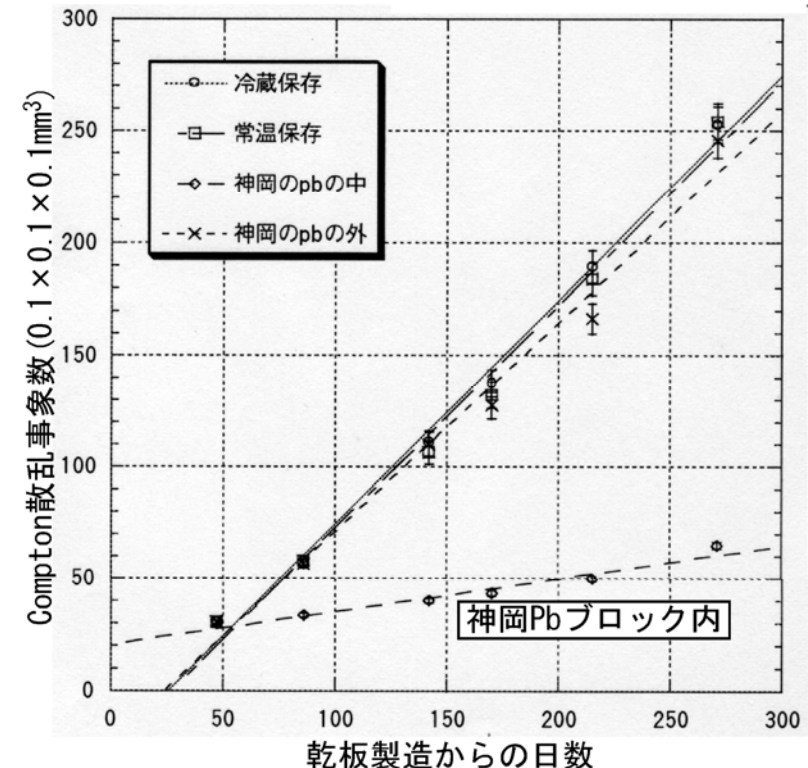
## Result from E373

Max. exposed track density  $1 \times 10^6/\text{cm}^2 \Leftrightarrow 100/(0.1 \times 0.1\text{mm}^2)$

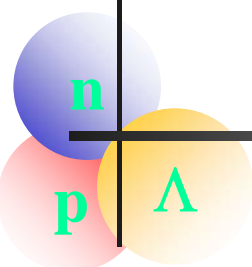
### Cosmic radiation



### Compton radiation

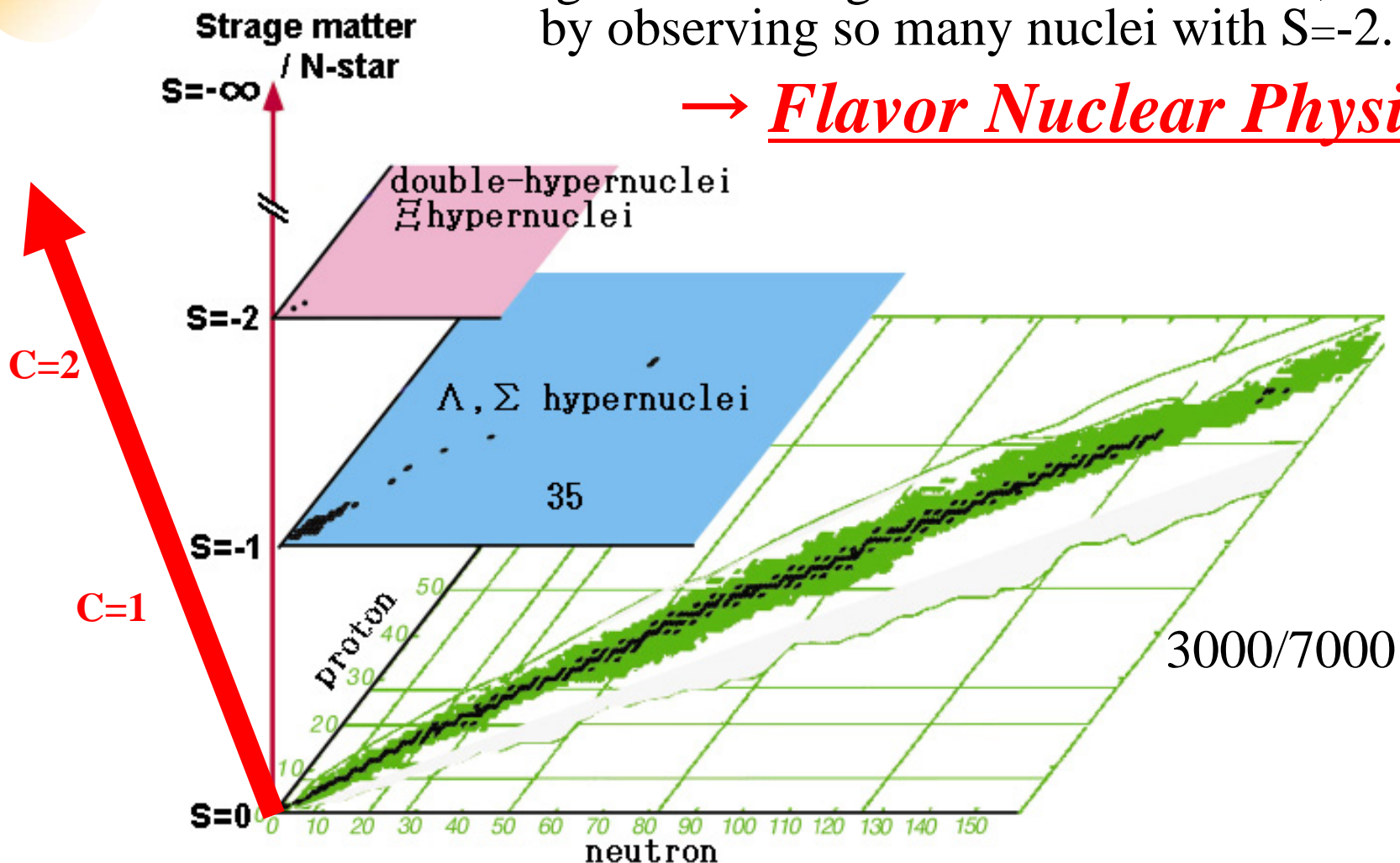


# 将来計画(岐阜大)



Our goal is making a S=-2 nuclear chart,  
by observing so many nuclei with S=-2.

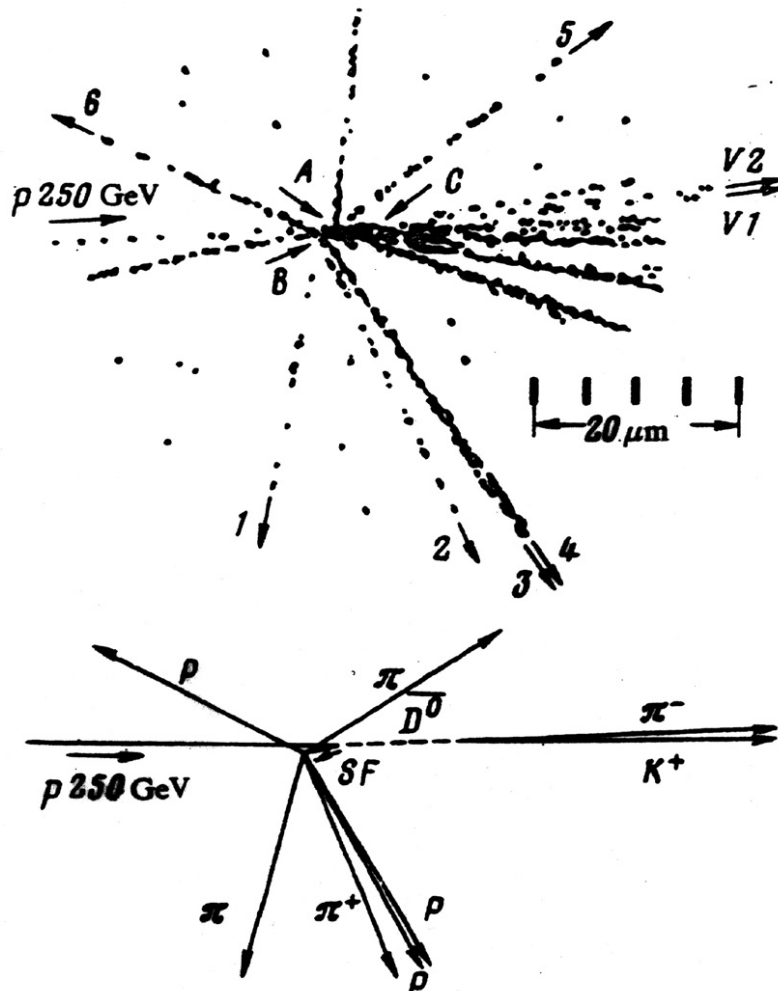
→ *Flavor Nuclear Physics*



# Charmed nuclei (Experiment)

n  
p  
 $\Lambda$

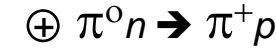
A.A.Tyapkin Yad.Fiz 22('75)181  
250GeV/c proton  $\rightarrow$  emulsion  
at FNAL



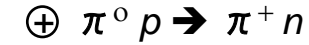
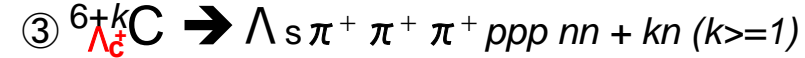
Interpretations



$$Bc = 0 \sim 10 \text{ MeV}$$

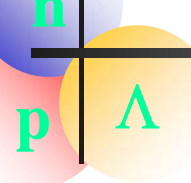


$$Bc = 0 \sim 10 \text{ MeV}$$



$$Bc = ?$$

# Charmed pentaquark(?)



- Discovery of the S=+1 Θ<sup>+</sup> pentaquark.  
← Chiral soliton model  
T.Nakano et al., PRL91('03)012002
- Contradictions in predictions of Spin & Parity
  - Chiral soliton model  
D.Diakonov et al., Z.Phys A359('97)305
  - QCD sum rules & lattice QCD  
D.Diakonov et al., Z.Phys A359('97)305  
M.Oka PTP112 ('04)1  
S.Takeuchi, K.Shimizu hep-ph/0410286  
J.J.Dudek, F.E.Close PL B583('04)278

A new qualitative information ← Charmed pentaquark

Exp.1 H1 ep collider at HERA

|uuddc> → D<sup>\*</sup>p

—|uuddc> → D<sup>\*\*</sup>p

Table 2

H1 collaboration, PL B588('04)17

Results of the fit as described in the text for opposite-charge D<sup>\*</sup>p combinations. The fitted position and Gaussian RMS width of the peak are given, together with the total number of signal events ( $N_s$ ). The statistical uncertainties quoted take account of the correlations between the variable parameters in the fit

Sample	Mass (MeV)	Gaussian width (MeV)	$N_s$
$D^{*-}p + D^{*-}p$	$3099 \pm 3$	$12 \pm 3$	$50.6 \pm 11.2$
$D^{*-}p$	$3102 \pm 3$	$9 \pm 3$	$25.8 \pm 7.1$
$D^{*+}\bar{p}$	$3096 \pm 6$	$13 \pm 6$	$23.4 \pm 8.6$

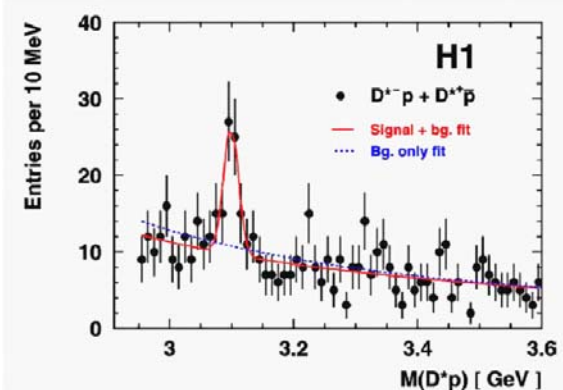


Fig. 7.  $M(D^* p)$  distribution from opposite-charge  $D^* p$  combinations in DIS, compared with the results of a fit in which both signal and background components are included (solid line) and with the results of a fit in which only the background component is included (dashed line).

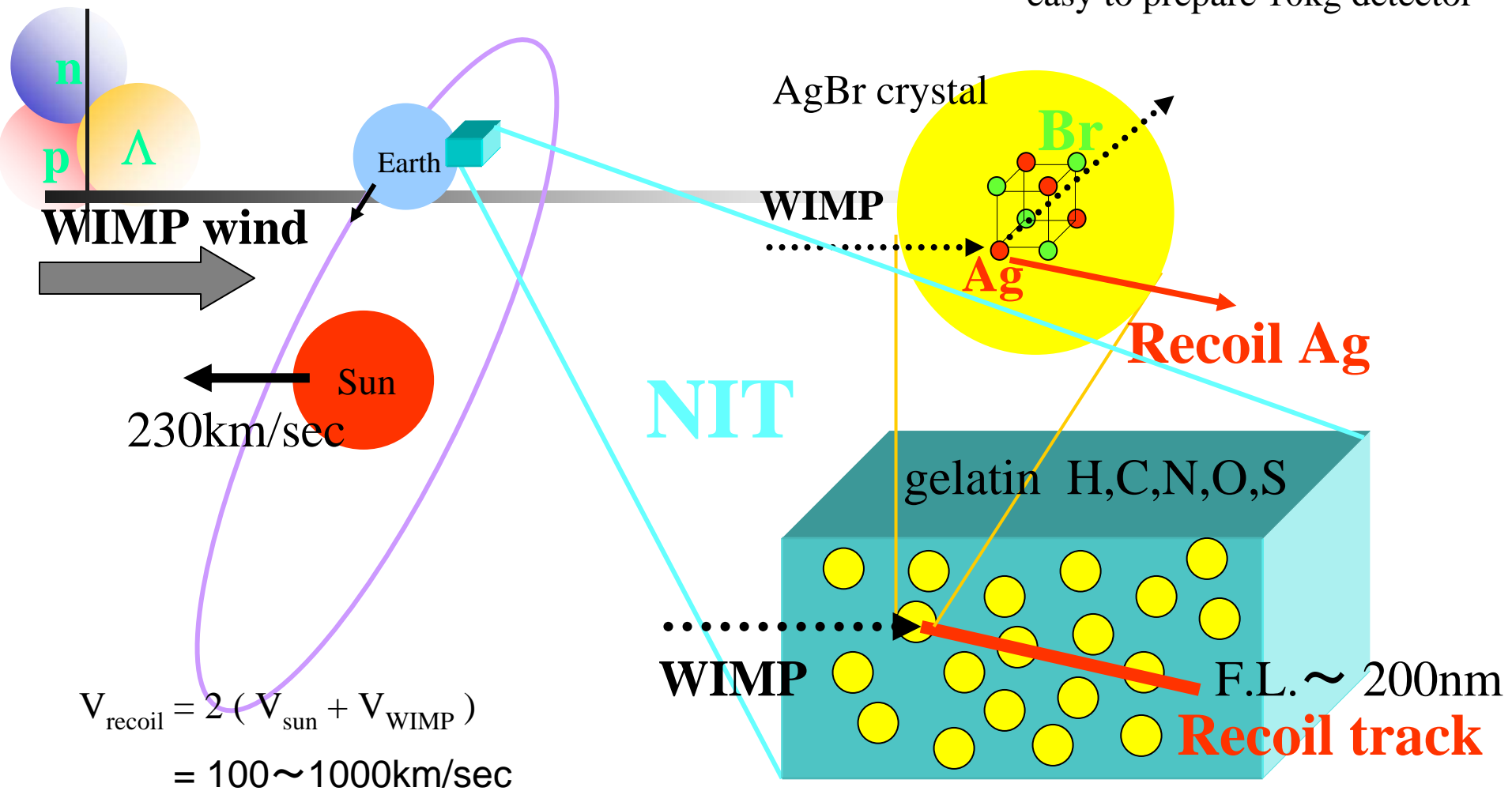
fail to observe the signal by several other experiments

# 名大1.

NIT shows us WIMP directionality

Targets
$^{107,109}\text{Ag}$ ( $J=1/2$ )
$^{79,81}\text{Br}$ ( $J=3/2$ )
$^{12}\text{C}$ $^{14}\text{N}$ $^{16}\text{O}$ $^{32}\text{S}$

easy to prepare 10kg detector



n  
p  
 $\Lambda$

# Fine grain emulsion crystal to get better position resolution at J-PARC

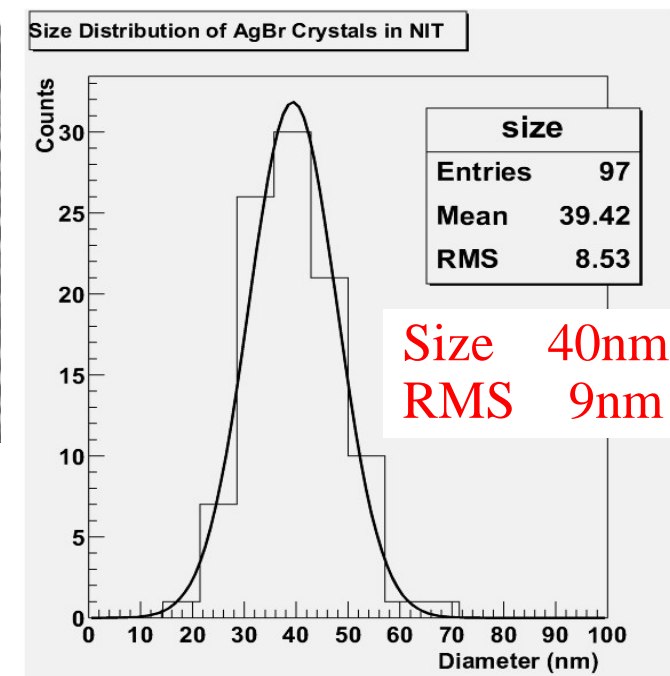
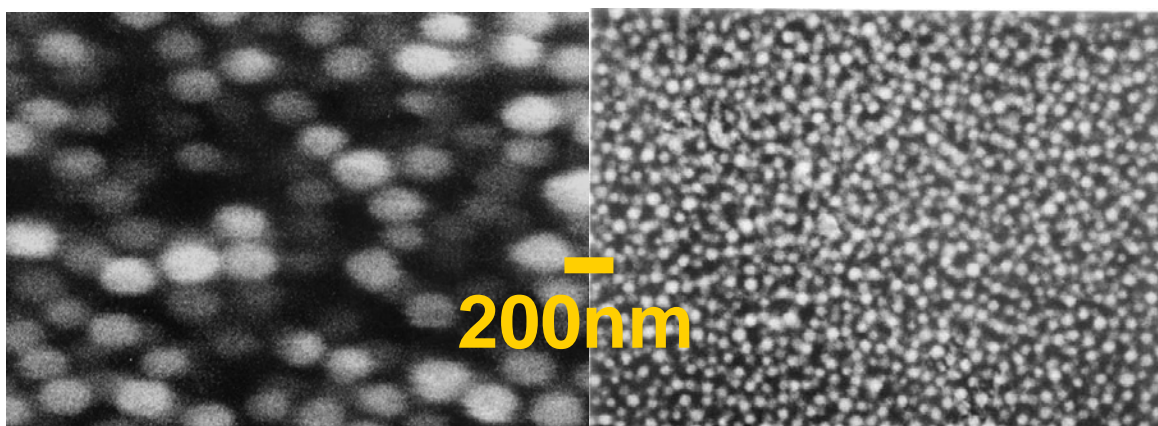
## SEM Micrographs of AgBr Grains

SEM : scanning electron microscope

E373 emulsion (ET-7C,D)

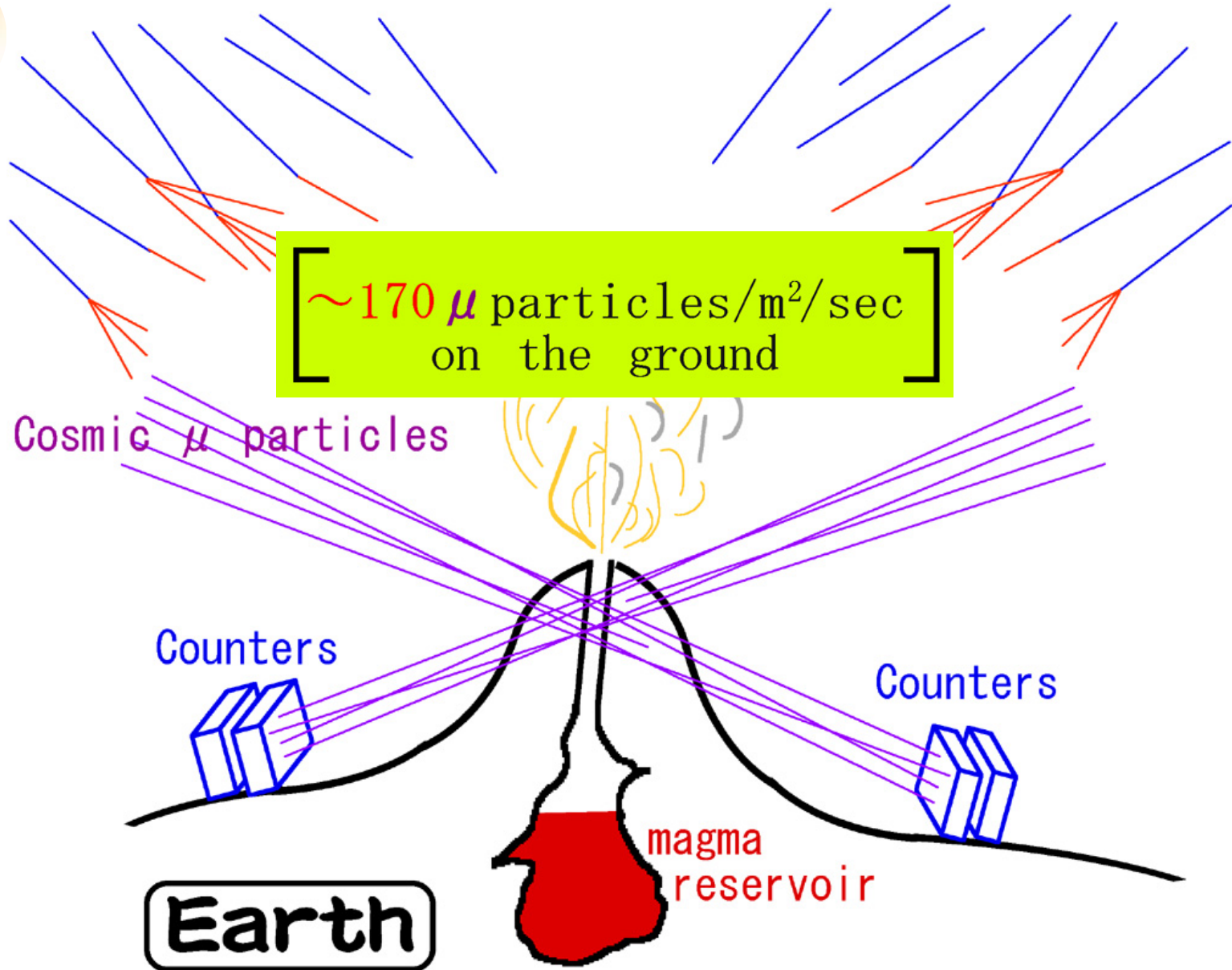
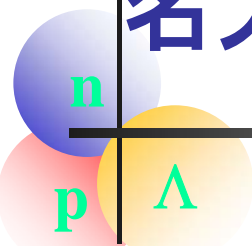
NIT(Nano Image Tracker  
developed by Nagoya

Size of AgBr Grains

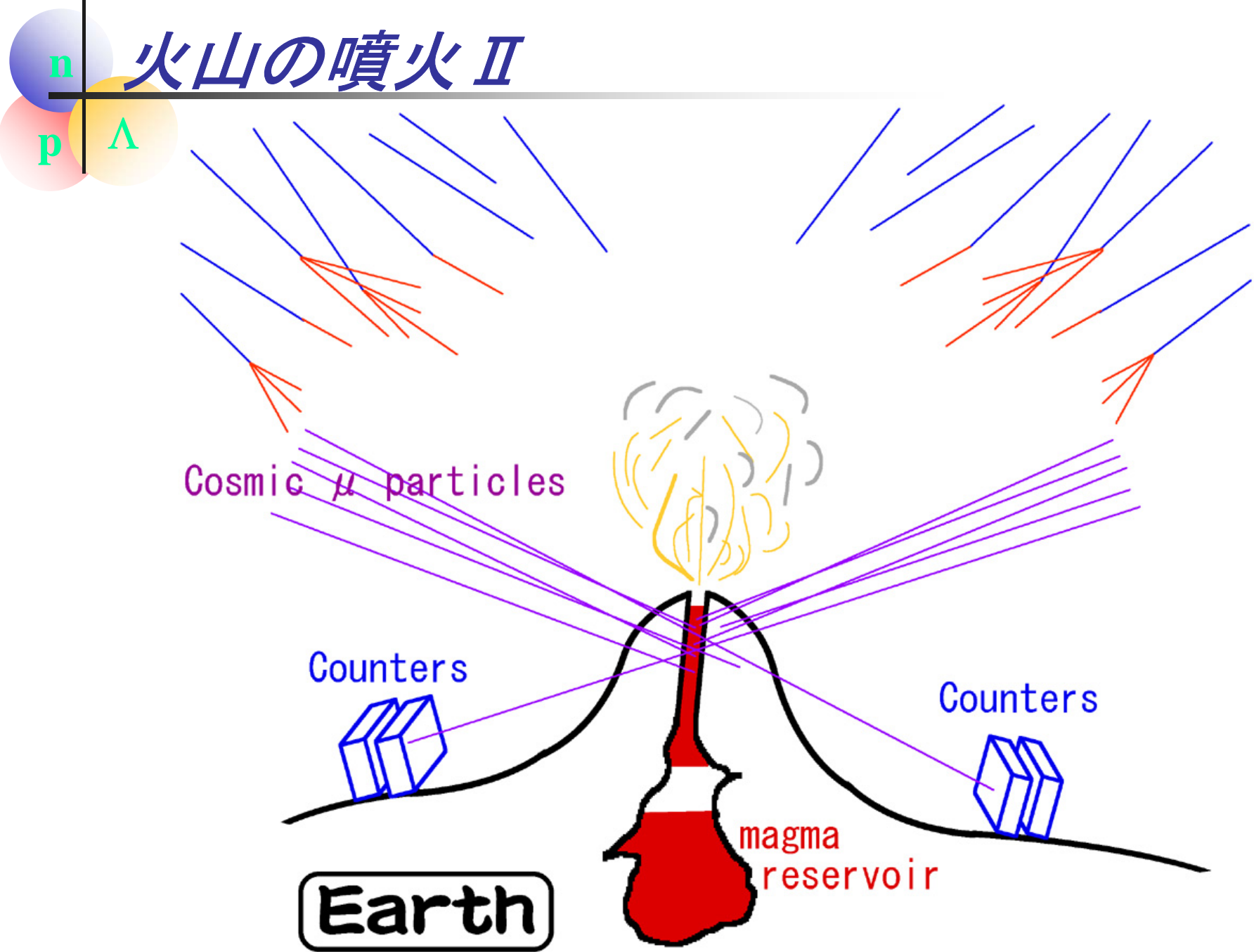


名大2.

## 火山の噴火 I



# 火山の噴火 II



## 4. まとめ

道後にて：山本 安夫 氏

2005年3月31日

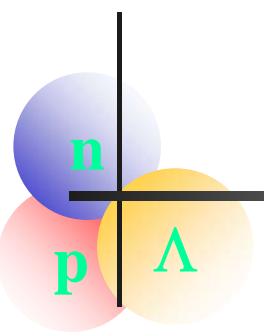
### 「地方の物理」とは・・・

洗練されたスマートさや天才的きらめきには欠けても、  
粘り強く営々とオリジナリティを磨きあげる、  
そういう泥臭い研究（集団）のあり方かもしれない

Nijmegen に体現されてるような、文化のあり方の  
ひとつなのかもしれない

「地方から中央へ」「ゲリラ戦から正規戦へ」という  
権力奪取的発想は不適切かと思う

多様で個性ある「地方」の充実こそが、科学文化の土壤  
ではなかろうか



# Extra slides